



Leibniz
Universität
Hannover

pn-Übergang/-Diode

H. Jörg Osten

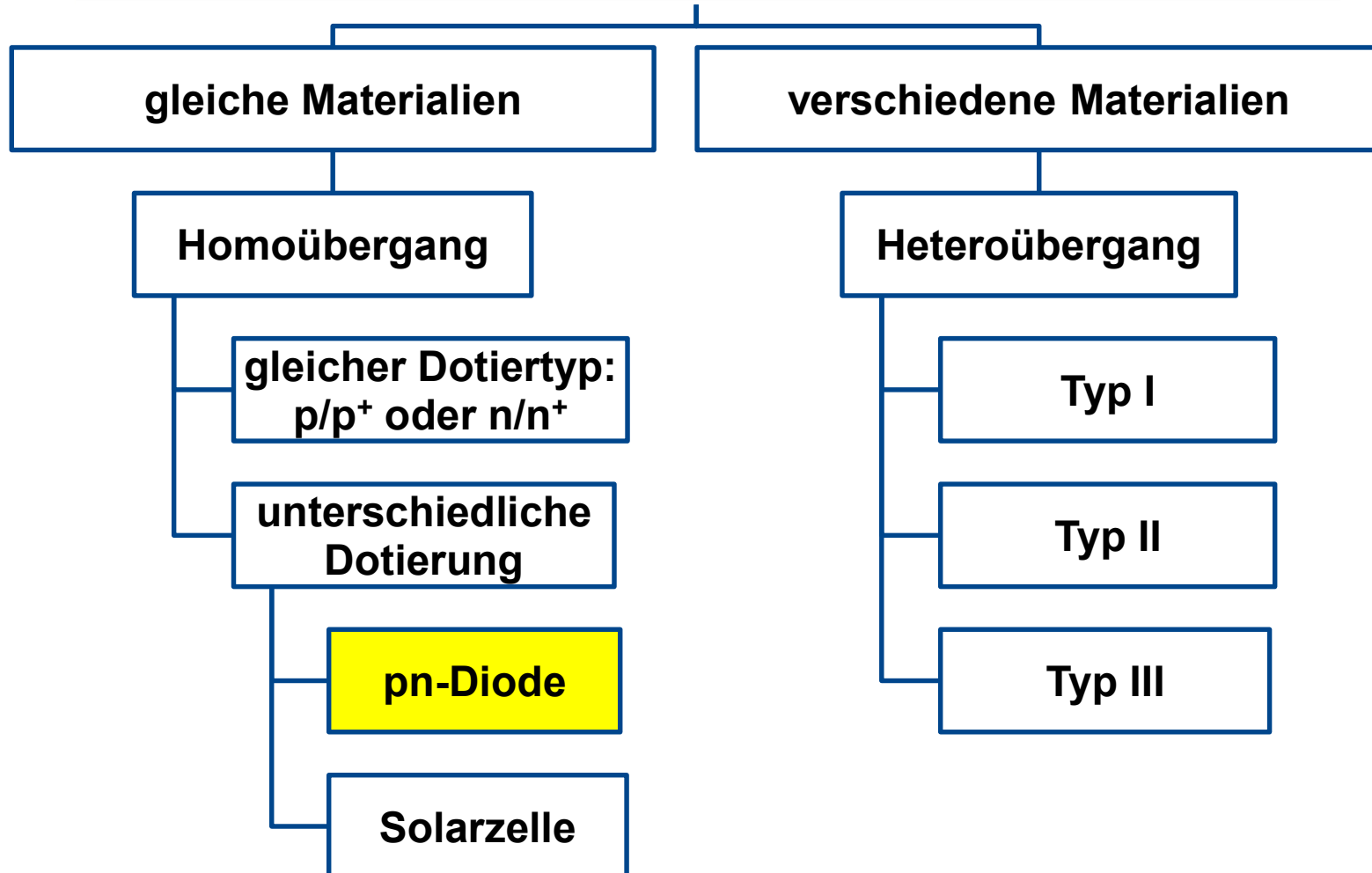
**Institut für Materialien und Bauelemente
der Elektronik**

- MBE -

**Leibniz Universität Hannover
Schneiderberg 32, 30167 Hannover**

nur für den LUH-internen Gebrauch

Zwei Halbleiter im Kontakt



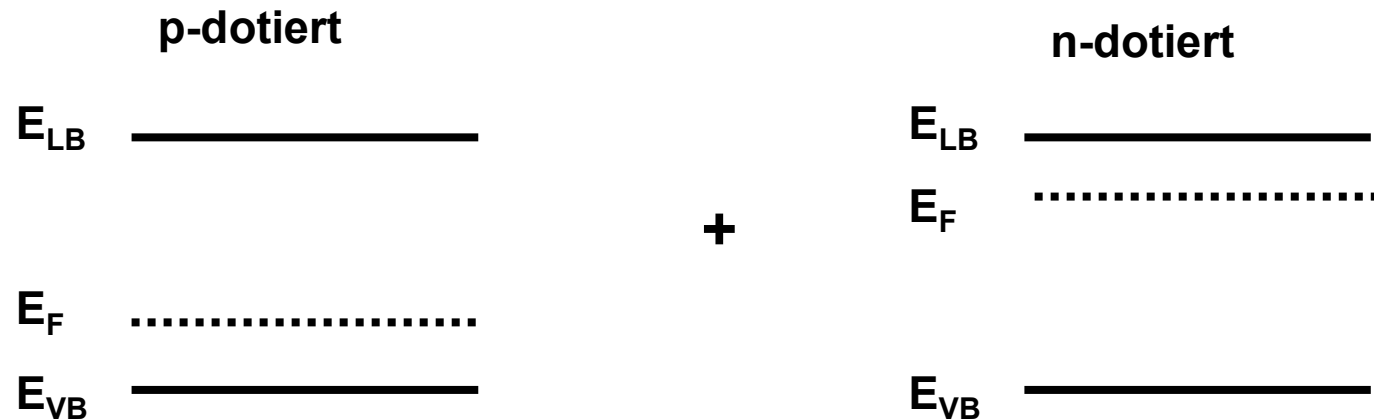
pn-Homoübergang

Zwei Halbleiter im Kontakt:

- **beide Halbleiter bestehen aus demselben Material**
- **die Dotierung ist entgegengesetzt**

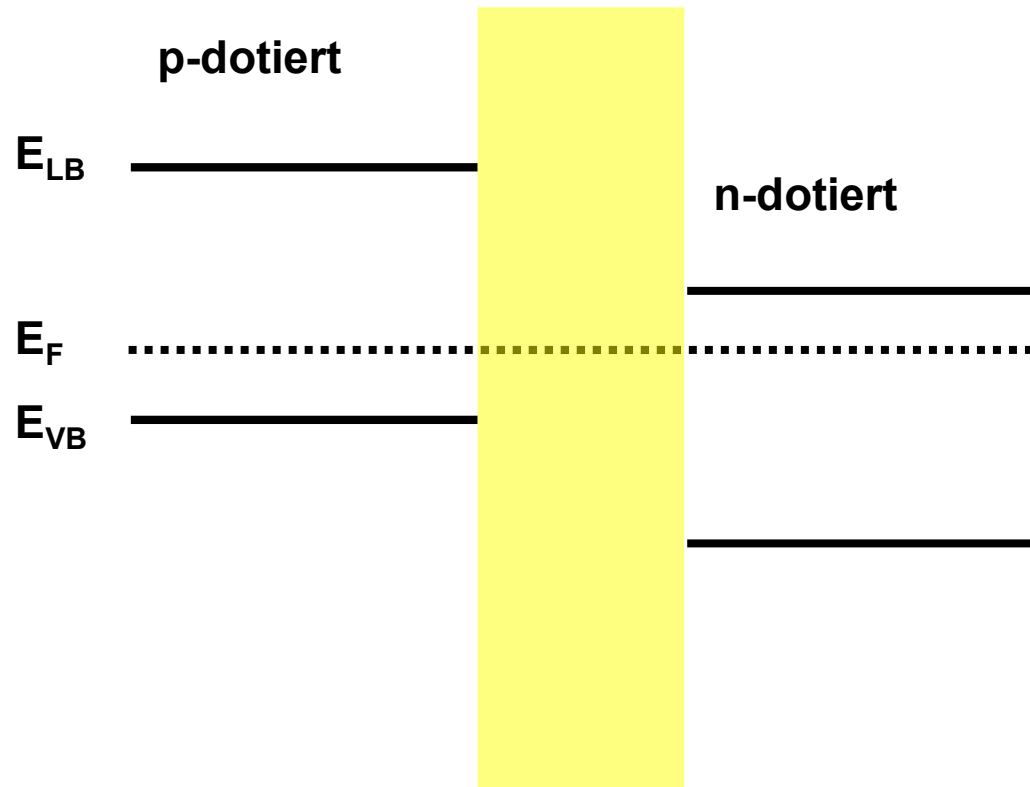
→ pn-Übergang

pn-Übergang: Bandschema

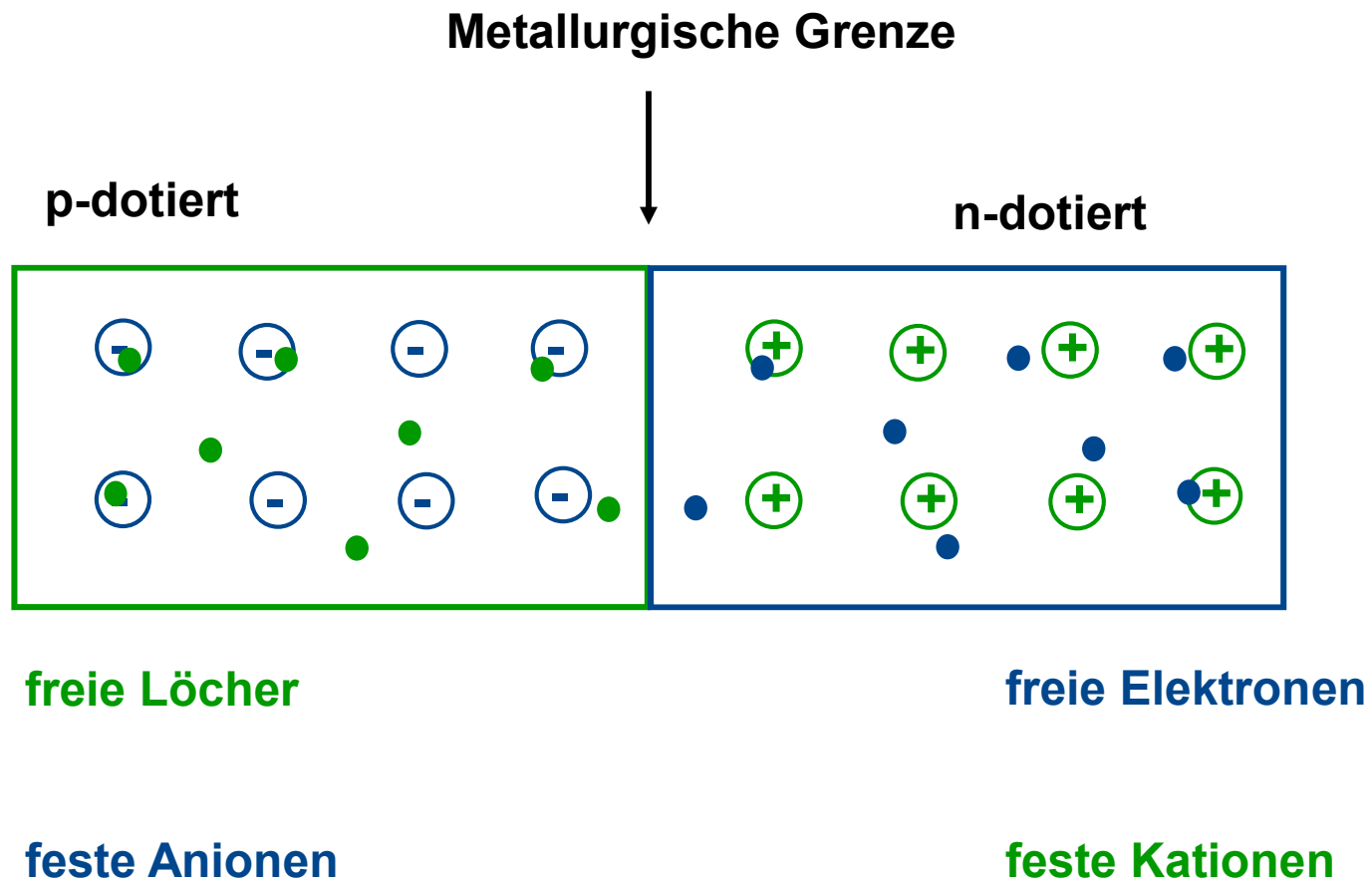


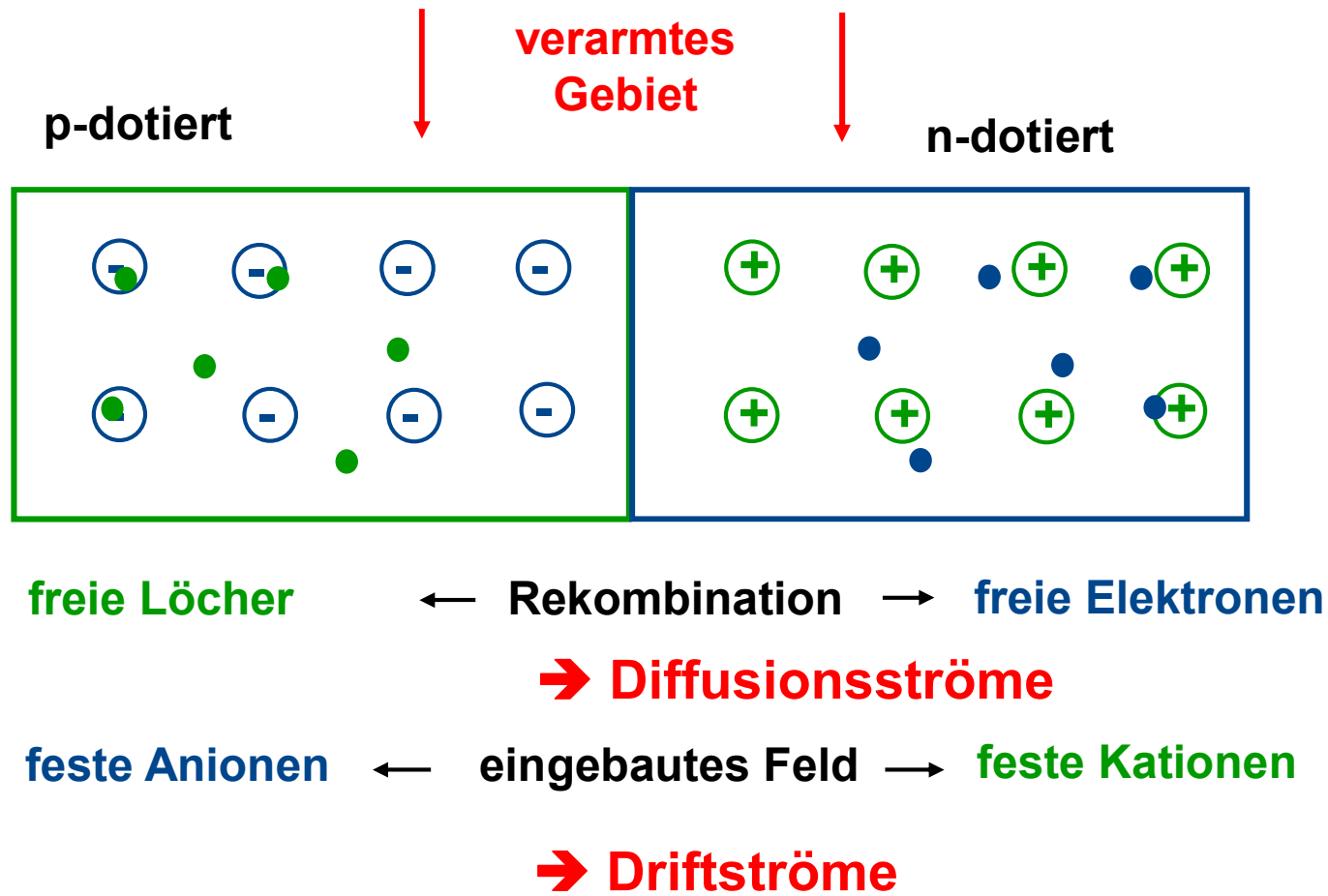
Im thermischen Gleichgewicht ohne externes Feld
bleibt das Fermi-niveau konstant (*Pinning*)

pn-Übergang: Bandschema



Übergangsgebiet

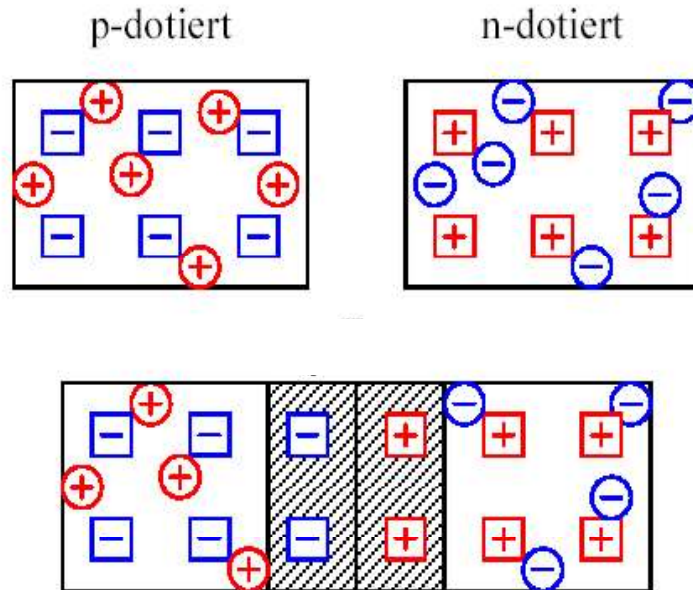




Der pn-Übergang

- Der Punkt M, an dem die Dotierung sich von p zu n ändert, wird **metallurgische Grenze** genannt.
- Aufgrund des hohen Ladungsträgerkonzentrationsunterschiedes kommt es zur Diffusion von Löchern aus dem p-Gebiet ins n-Gebiet.
- Die Elektronen diffundieren in umgekehrter Richtung.
- In der Nähe der Grenze M rekombinieren dann die diffundierten Ladungsträger mit den dortigen Majoritätsträgern
 - ➔ es entsteht eine als "Sperrschicht" bezeichnete Verarmungszone oder Raumladungszone rund um die metallurgische Grenze

Der pn-Übergang



**p-leitendes Gebiet mit Löchern
und festen Akzeptor-Ionen**

+

**n-leitendes Gebiet mit Elektronen
und festen Donator-Ionen**

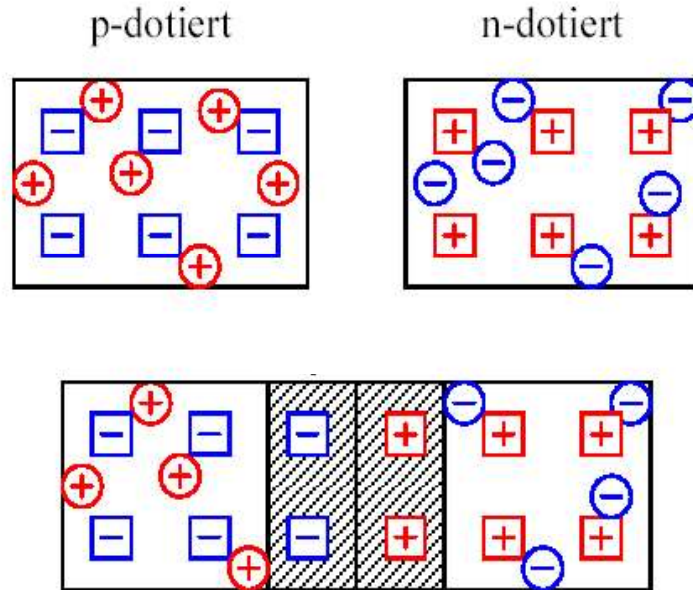
Die freien Ladungsträger diffundieren und können rekombinieren

→ es entsteht eine Raumladungszone

(verarmt an freien Ladungsträgern)

→ **Verarmungszone (depletion layer)**

Der pn-Übergang



Die freien Ladungsträger diffundieren und können rekombinieren

→ **Raumladungszone**

(verarmt an freien Ladungsträgern)

→ Verarmungszone (*depletion layer*)

es entsteht ein lokales Feld

→ **Driftstrom**

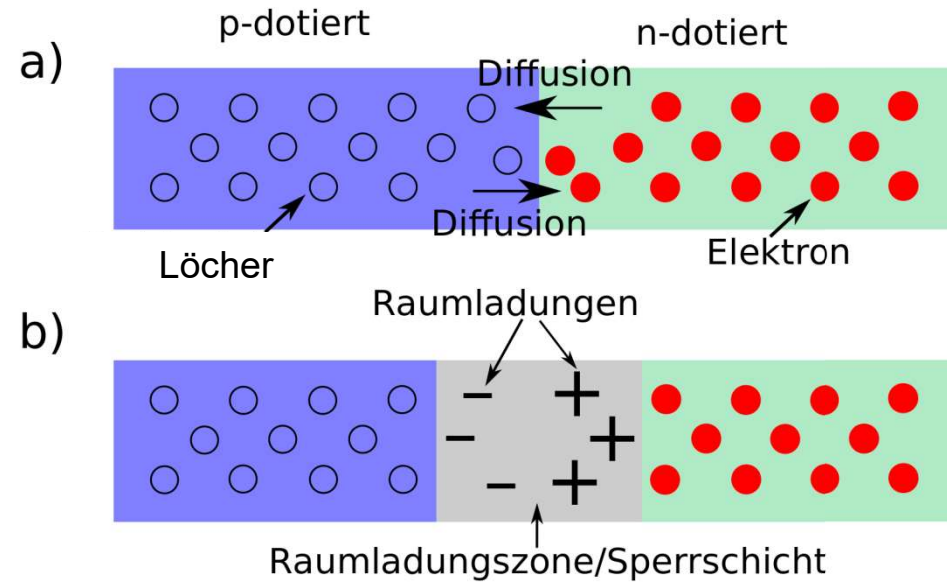


entgegengesetzt zur Diffusionsrichtung!

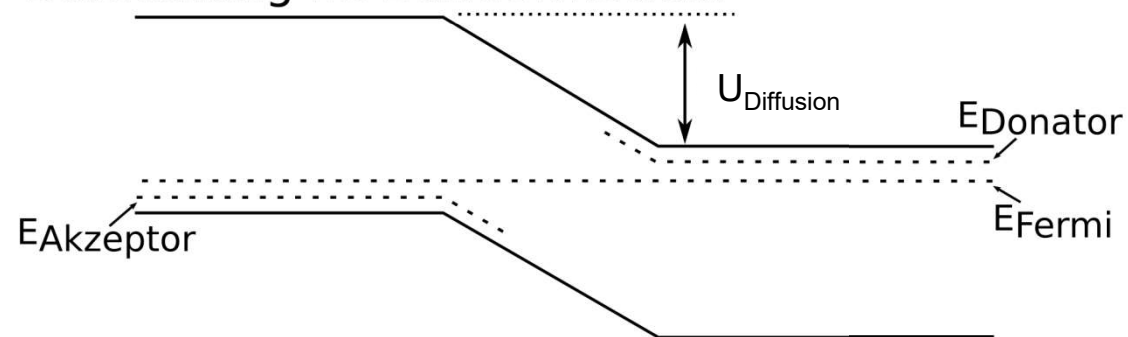
Der pn-Übergang

- In dieser Verarmungszone, die sich von $-W_p$ bis W_n erstreckt, sind die unbeweglichen, ionisierten Dotieratome zurückgeblieben.
- aufgrund der Ionen bildet sich ein elektrisches Feld aus, welches entgegen der Diffusionsrichtung der Ladungsträger wirkt.
- Es stellt sich ein Gleichgewicht ein, so dass sich die Ladungsträgerströme resultierend aus Drift und Diffusion genau kompensieren.

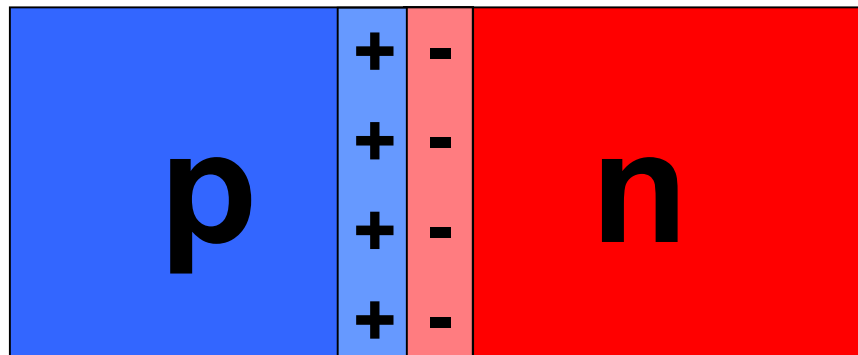
Zusammenfassung bis hierher



Darstellung im Bändermodell:



pn-Übergang: Beispiel Si



Annahme: p-Dotierung = n-Dotierung = $1 \cdot 10^{18} \text{ cm}^{-3}$

→ Raumladungszone $\sim 1 \mu\text{m}$

Breite der Raumladungszone: $W = W_p + W_n$

Über die Ladungsträgerneutralität (Ladungsmenge muss auf beiden Seiten des pn-Übergangs gleich sein) kann eine Beziehung zwischen den Raumladungsweiten ($-W_p, W_n$) hergestellt werden:

$$W_p \cdot N_A = W_n \cdot N_D$$

→ eine **Erhöhung** der Dotierung führt zu einer **Verkleinerung** der Raumladungszone

Annahme:

W_p und W_n entsprechen dem thermischen Gleichgewicht

Berechnung des eingebauten Feldes

Lösung der eindimensionalen Poissongleichung

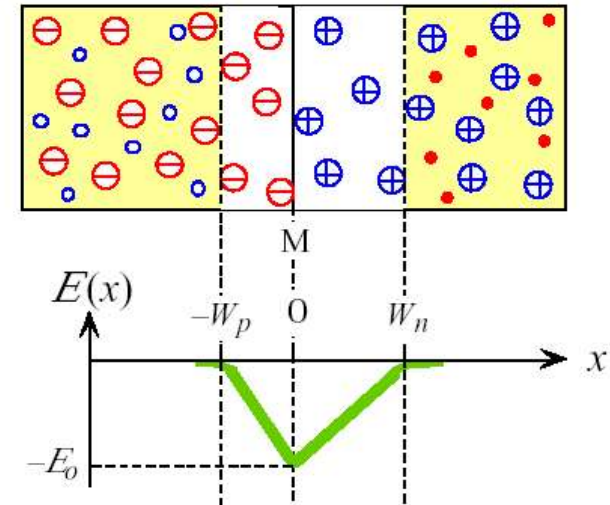
$$\frac{\partial E}{\partial x} = \frac{\rho}{\epsilon_s}$$

mit den Randbedingungen: $E(x = -W_p) = E(x = W_n) = 0$
(im Bereich der Störstellenerschöpfung)

$$E(x) = \begin{cases} -\frac{qN_A}{\epsilon} \cdot (x + W_p) & -W_p \leq x \leq 0 \\ -\frac{qN_D}{\epsilon} \cdot (-x + W_n) & 0 \leq x \leq W_n \end{cases}$$

Berechnung des eingebauten Feldes

$$E(x) = \begin{cases} -\frac{qN_A}{\epsilon} \cdot (x + W_p) & -W_p \leq x \leq 0 \\ -\frac{qN_D}{\epsilon} \cdot (-x + W_n) & 0 \leq x \leq W_n \end{cases}$$



→ den maximalen Wert E_0 des negativen elektrischen Feldes erreicht man an der Stelle $x = 0$ (metallurgische Grenze: M)

$$E_0 = -\frac{qN_A}{\epsilon} \cdot W_p = -\frac{qN_D}{\epsilon} \cdot W_n$$

→ dieses elektrische Feld im thermischen Gleichgewicht wird oft auch **eingebautes Feld** genannt.

Berechnung des eingebauten Potentials

Aus dem Verlauf des elektrischen Feldes berechnet man das Potential

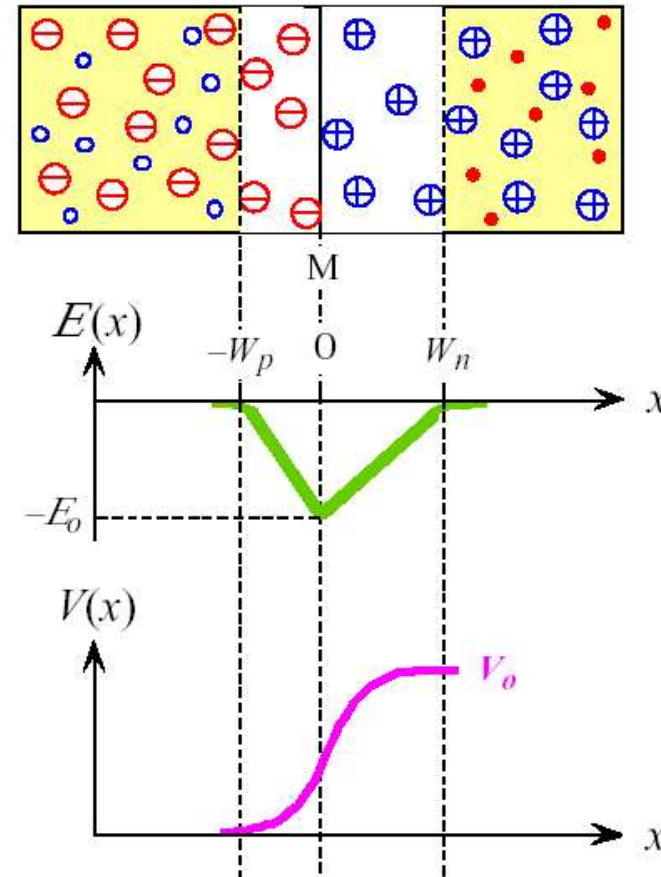
$$-\frac{\partial V}{\partial x} = E(x)$$

$$V(x) = \begin{cases} \frac{qN_A}{\epsilon} \cdot \left(\frac{x^2}{2} + W_p x + \frac{W_p^2}{2} \right) & -W_p \leq x \leq 0 \\ \frac{qN_D}{\epsilon} \cdot \left(-\frac{x^2}{2} + W_n x + \frac{W_n^2}{2} \right) & 0 \leq x \leq W_n \end{cases}$$

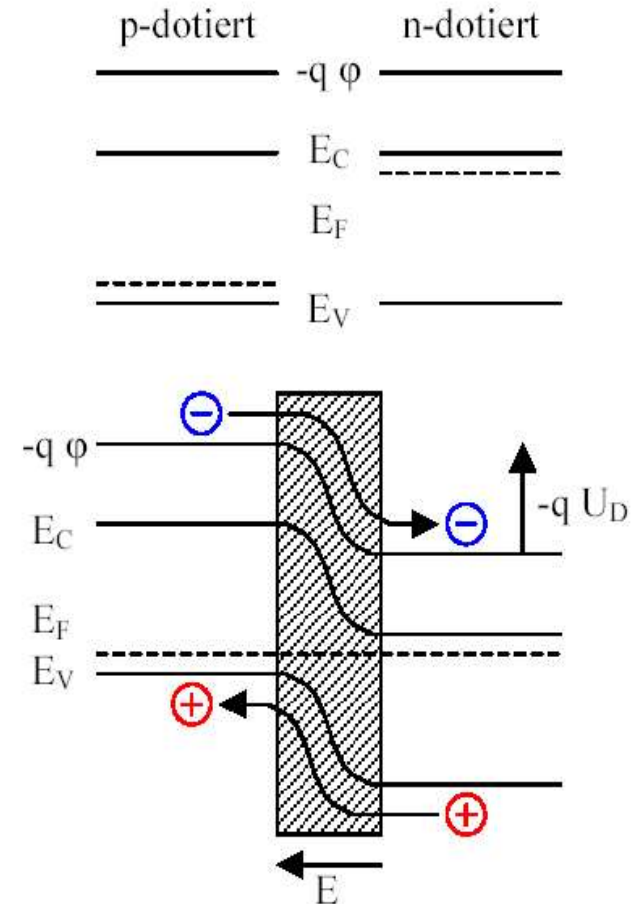
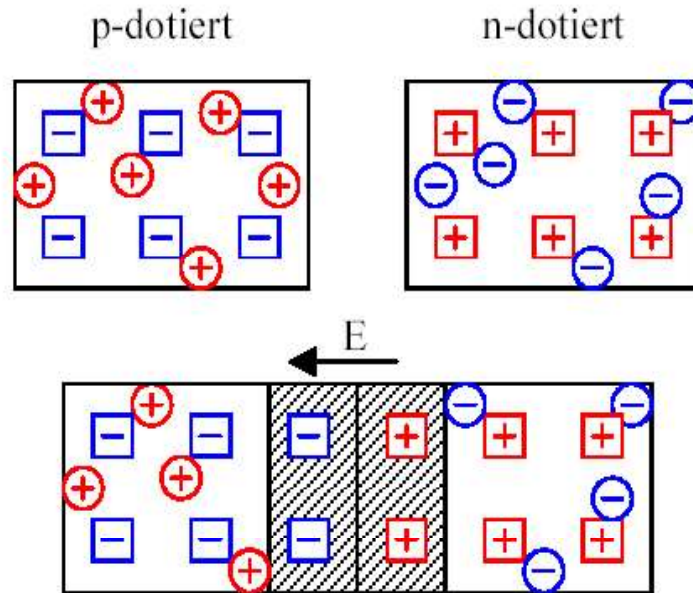
Berechnung des eingebauten Potentials

$$V(x) = \begin{cases} \frac{qN_A}{\epsilon} \cdot \left(\frac{x^2}{2} + W_p x + \frac{W_p^2}{2} \right) & -W_p \leq x \leq 0 \\ \frac{qN_D}{\epsilon} \cdot \left(-\frac{x^2}{2} + W_n x + \frac{W_n^2}{2} \right) & 0 \leq x \leq W_n \end{cases}$$

→ die Spannung, die im thermischen Gleichgewicht über den pn-Übergang abfällt (V_0), wird auch **eingebaute Spannung** oder **Diffusionsspannung** (U_D) genannt.



pn-Übergang: Bandschema



U_D – Diffusionsspannung (V_0)

Berechnung der Diffusionsspannung

Zusammenhang zwischen Elektronenkonzentration und Leitungsbandkante

$$n = N_{LB} \cdot \exp\left(\frac{E_{Fn} - E_{LB}}{kT}\right)$$

Verhältnis der Elektronenkonzentrationen an zwei verschiedenen Orten 1 und 2 in einem Halbleiter im thermodynamischen Gleichgewicht:

$$\frac{n_2}{n_1} = \exp\left(\frac{E_{LB2} - E_{LB1}}{kT}\right)$$

Berechnung der Diffusionsspannung

$$\frac{n_2}{n_1} = \exp\left(\frac{E_{LB2} - E_{LB1}}{kT}\right)$$

Wenn 1 im n-Gebiet und 2 im p-Gebiet liegen folgt:

$$E_{LB2} - E_{LB1} = -q(V_2 - V_1) = -qV_0$$

$$\boxed{\frac{n_p}{n_n} = \exp\left(-\frac{qV_0}{kT}\right)}$$

Berechnung der Diffusionsspannung

Elektronenkonzentrationen:

$$\frac{n_p}{n_n} = \exp\left(-\frac{qV_0}{kT}\right)$$

Analog gilt für die Löcherkonzentrationen:

$$\frac{p_n}{p_p} = \exp\left(-\frac{qV_0}{kT}\right)$$

Massenwirkungsgesetz:

$$\begin{aligned} p_p &\sim N_A \\ p_n &\sim \frac{n_i^2}{N_D} \end{aligned}$$

$$\begin{aligned} n_n &\sim N_D \\ n_p &\sim \frac{n_i^2}{N_A} \end{aligned}$$

Berechnung der Diffusionsspannung

Elektronenkonzentrationen: $\frac{n_p}{n_n} = \exp\left(-\frac{qV_0}{kT}\right)$

Massenwirkungsgesetz: $n_n \sim N_D$
 $n_p \sim \frac{n_i^2}{N_A}$

$$\frac{n_p}{n_n} = \exp\left(-\frac{qV_0}{kT}\right) = \frac{n_i^2}{N_D \cdot N_A}$$

Diffusionsspannung

$$V_0 = U_D = \frac{kT}{q} \ln \left(\frac{N_A N_D}{n_i^2} \right)$$

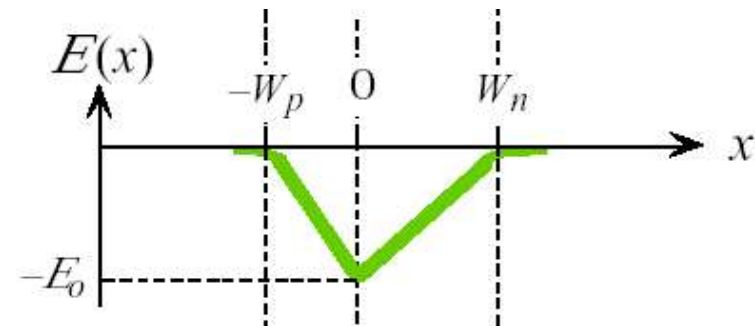
Temperaturspannung
(Einstein-Beziehung)

$$\frac{D_p}{\mu_p} = \frac{D_n}{\mu_n} = \frac{kT}{q} = U_T$$

$$V_0 = U_D = U_T \ln \left(\frac{N_A N_D}{n_i^2} \right)$$

Berechnung der Raumladungszone W

$$E(x) = \begin{cases} -\frac{qN_A}{\epsilon} \cdot (x + W_p) & -W_p \leq x \leq 0 \\ -\frac{qN_D}{\epsilon} \cdot (-x + W_n) & 0 \leq x \leq W_n \end{cases}$$



Eingebautes Feld $E_0 = -\frac{q}{\epsilon} N_D W_n = -\frac{q}{\epsilon} N_A W_p$

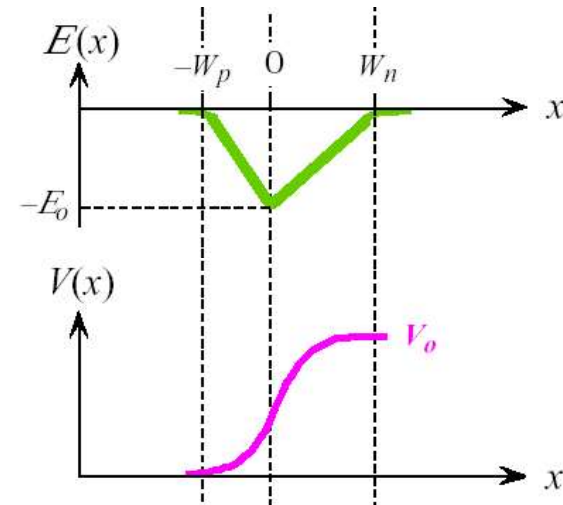
Berechnung der Raumladungszone W

$$V_0 = \int_{-W_p}^{W_n} -E(x) dx$$

→ allgemeiner Zusammenhang zwischen dem Spannungsabfall V_0 und der Raumladungszonenweite $W = W_p + W_n$

$$E(x) = \begin{cases} -\frac{qN_A}{\varepsilon} \cdot (x + W_p) & -W_p \leq x \leq 0 \\ -\frac{qN_D}{\varepsilon} \cdot (-x + W_n) & 0 \leq x \leq W_n \end{cases}$$

$$V_0 = -\frac{E_0 W}{2}$$



Berechnung der Raumladungszone W

Weite der RLZ

$$W = W_p + W_n$$

Neutralitätsbedingung:

$$W_p \cdot N_A = W_n \cdot N_D$$

$$W = W_p \left(\frac{N_A + N_D}{N_A} \right) = W_n \left(\frac{N_A + N_D}{N_D} \right) \rightarrow W_n = \frac{W \cdot N_A}{N_A + N_D}$$

Eingebautes Feld $E_0 = -\frac{q}{\varepsilon} N_D W_n = -\frac{q}{\varepsilon} N_A W_p$

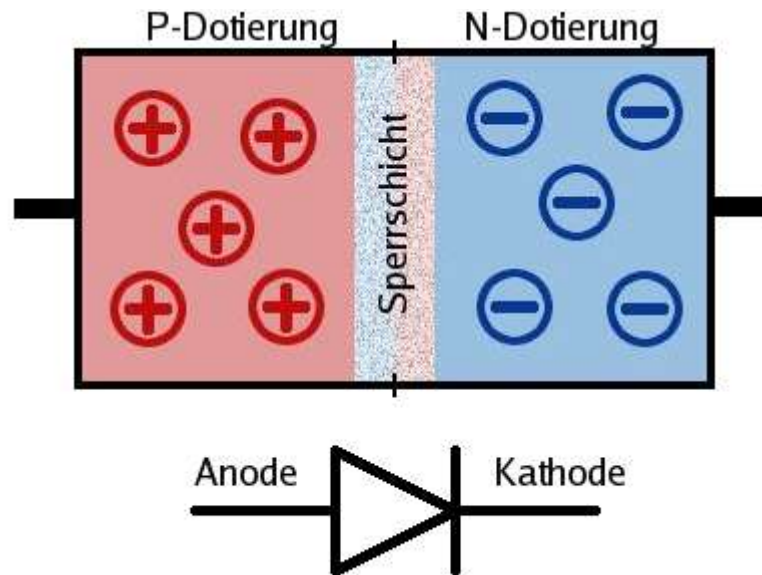
$$V_0 = -\frac{E_0 W}{2} = -\frac{q N_A N_D W^2}{2\varepsilon (N_A + N_D)}$$

$$W = \sqrt{\left[\frac{2\varepsilon(N_A + N_D)V_0}{qN_A N_D} \right]}$$

Diffusionsspannung: $V_0 = U_T \ln\left(\frac{N_A \cdot N_D}{n_i^2}\right)$

$$W = \left[\frac{2\varepsilon(N_A + N_D)U_T \ln\left(\frac{N_A N_D}{n_i^2}\right)}{qN_A N_D} \right]^{1/2}$$

pn-Übergang: Beispiel Si



Annahme: Majoritätsträger: p-Dotierung = n-Dotierung = 10^{18} cm^{-3}

Aus dem Massenwirkungsgesetz ergibt sich:

Minoritätsträger: Löcher in n-Gebiet = Elektronen in p-Gebiet = $2.25 \times 10^2 \text{ cm}^{-3}$

ohne externe Spannung: Temperaturspannung (bei RT) $U_T = 26 \text{ mV}$
 Diffusionsspannung $U_D = 1 \text{ V}$

Raumladungszone $W \sim 1 \mu\text{m}$

Raumladungszone im Gleichgewicht

$$W = \sqrt{\frac{2\varepsilon(N_A + N_D)V_0}{qN_A N_D}} :$$

$$W = N_A \cdot \sqrt{\frac{2\varepsilon V_0}{qN_A N_D (N_A + N_D)}} + N_D \cdot \sqrt{\frac{2\varepsilon V_0}{qN_A N_D (N_A + N_D)}}$$

$$W_n = \sqrt{\frac{2\varepsilon V_0 N_A}{q(N_D + N_A)N_D}}$$

$$W_p = \sqrt{\frac{2\varepsilon V_0 N_D}{q(N_D + N_A)N_A}}$$

Raumladungszone im Gleichgewicht

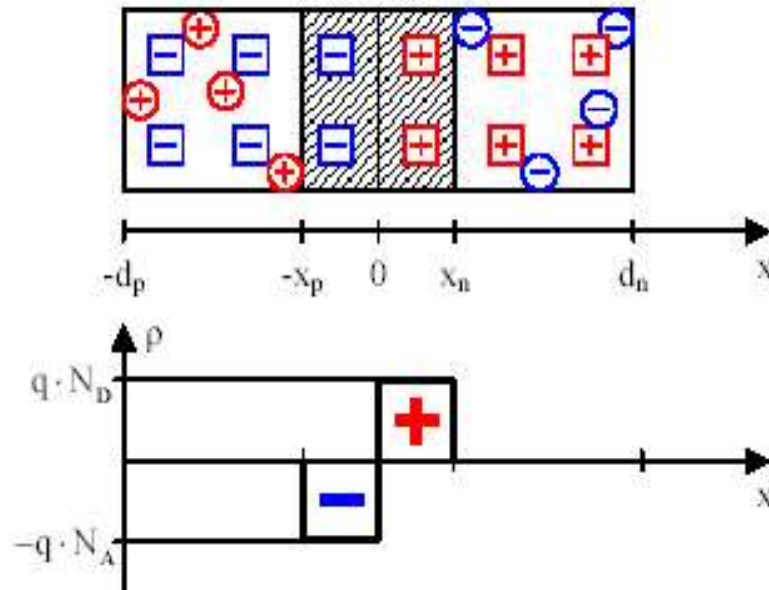
$$W_n = \sqrt{\frac{2\varepsilon V_0 N_A}{q(N_D + N_A)N_D}}$$

$$W_p = \sqrt{\frac{2\varepsilon V_0 N_D}{q(N_D + N_A)N_A}}$$

- Die Breite der Raumladungszone hängt von den Donator- und Akzeptorkonzentrationen ab
- für $N_A > N_D$ folgt $W_n > W_p$

➔ Die Ausdehnung erfolgt immer stärker in das niedriger dotierte Gebiet

pn-Übergang mit externer Spannung



$-d_p < x < -W_p$ und $W_n < x < d_n$

feldfreie Bahngebiete

$-W_p < x < W_n$ Raumladungszone

Potentialverlauf:

U_D –Diffusionsspannung (V_0)

V - externe Spannung
(hier positiv, kann auch negativ sein)

Breite der Raumladungszonen

$$W = W_p + W_n = \sqrt{\frac{2\varepsilon(V_0 - V)(N_D + N_A)}{qN_DN_A}}$$

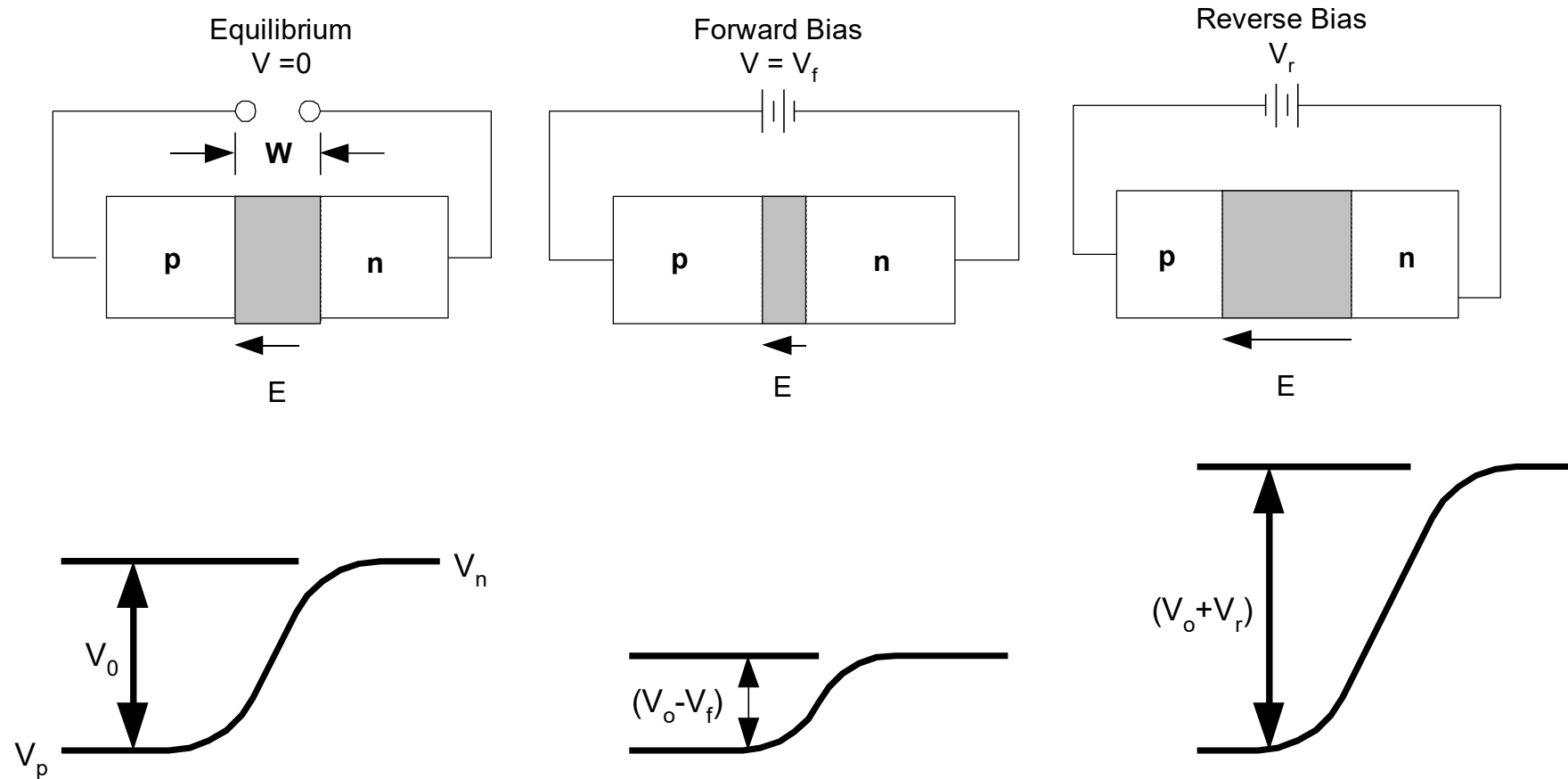
V – angelegte externe Spannung

Raumladungszone bei angelegter Spannung

$$W = W_p + W_n = \sqrt{\frac{2\varepsilon(V_0 - V)(N_D + N_A)}{qN_DN_A}}$$

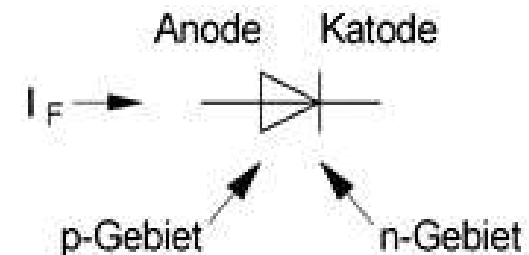
- Die Breite der Raumladungszone sinkt mit zunehmender Dotierung des n- bzw. p-Gebietes
- eine externe Spannung kann W vergrößern oder verkleinern
- Für $V > V_0$ verschwindet die Raumladungszone
→ **Flussspannung**
- V war als positiv angenommen, damit vergrößert $-V$ immer die Raumladungszone
→ **Sperrspannung**

Gleichgewicht, Flussrichtung, Sperrrichtung

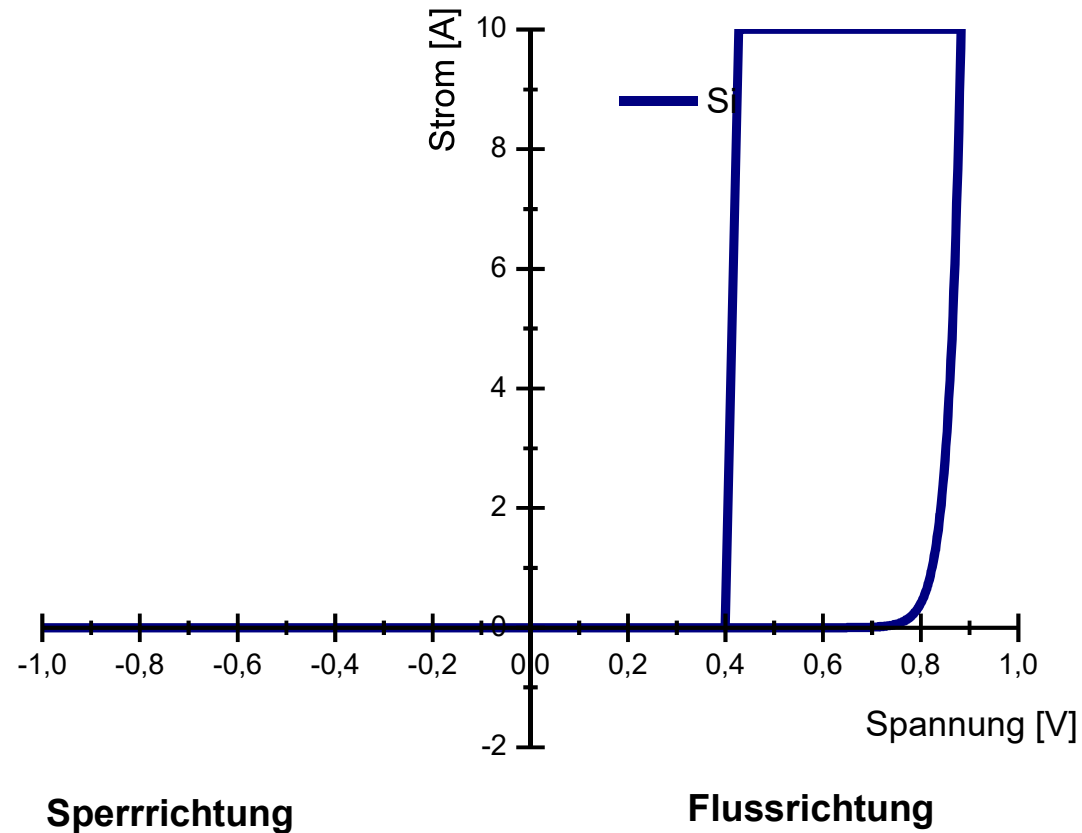


Die pn-Diode

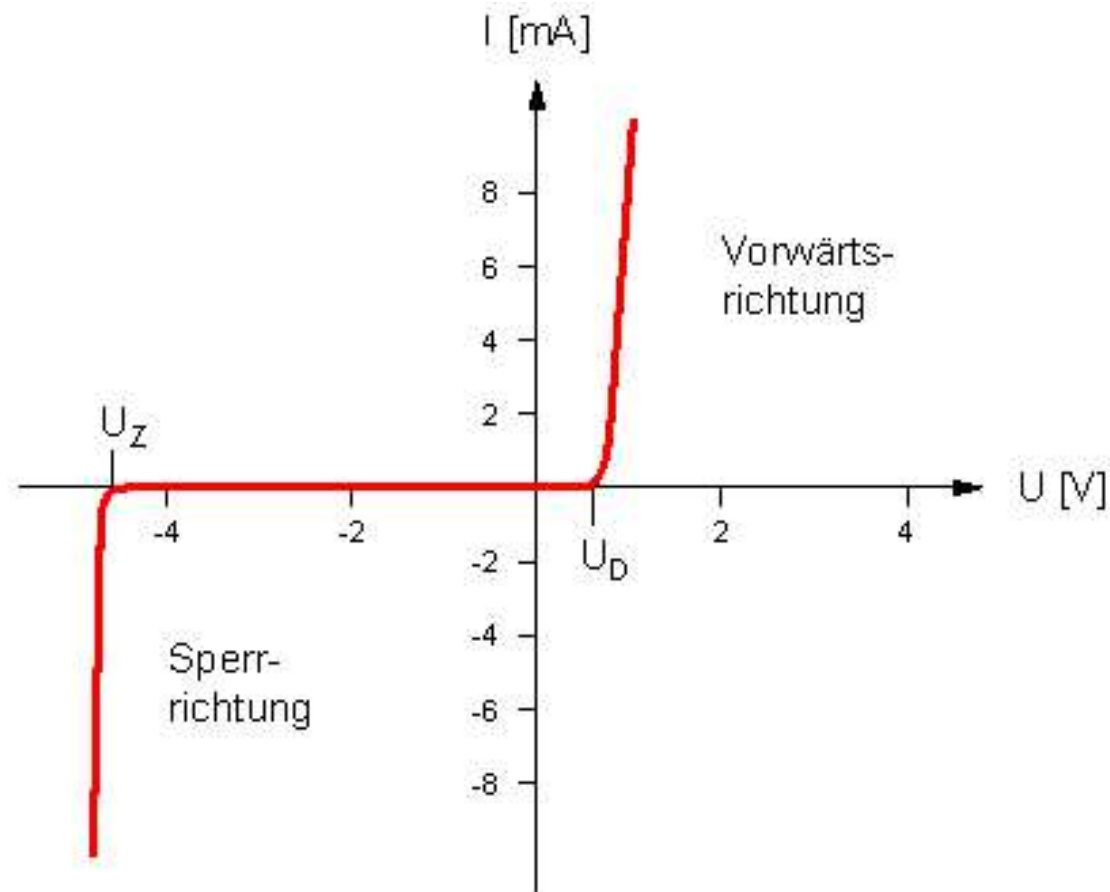
- Bringt man einen n- und einen p-Leiter zusammen, so rekombinieren sich die freien Ladungsträger (Elektronen und Löcher) in der Nähe der Kontaktfläche (Raumladungszone)
- Durch das Anlegen einer Spannung kann die Diode den Strom in eine Richtung leiten (Raumladungszone geht gegen Null)
- In der entgegen gesetzten Richtung sperrt sie (die Raumladungszone wird durch das Anlegen einer Spannung vergrößert)



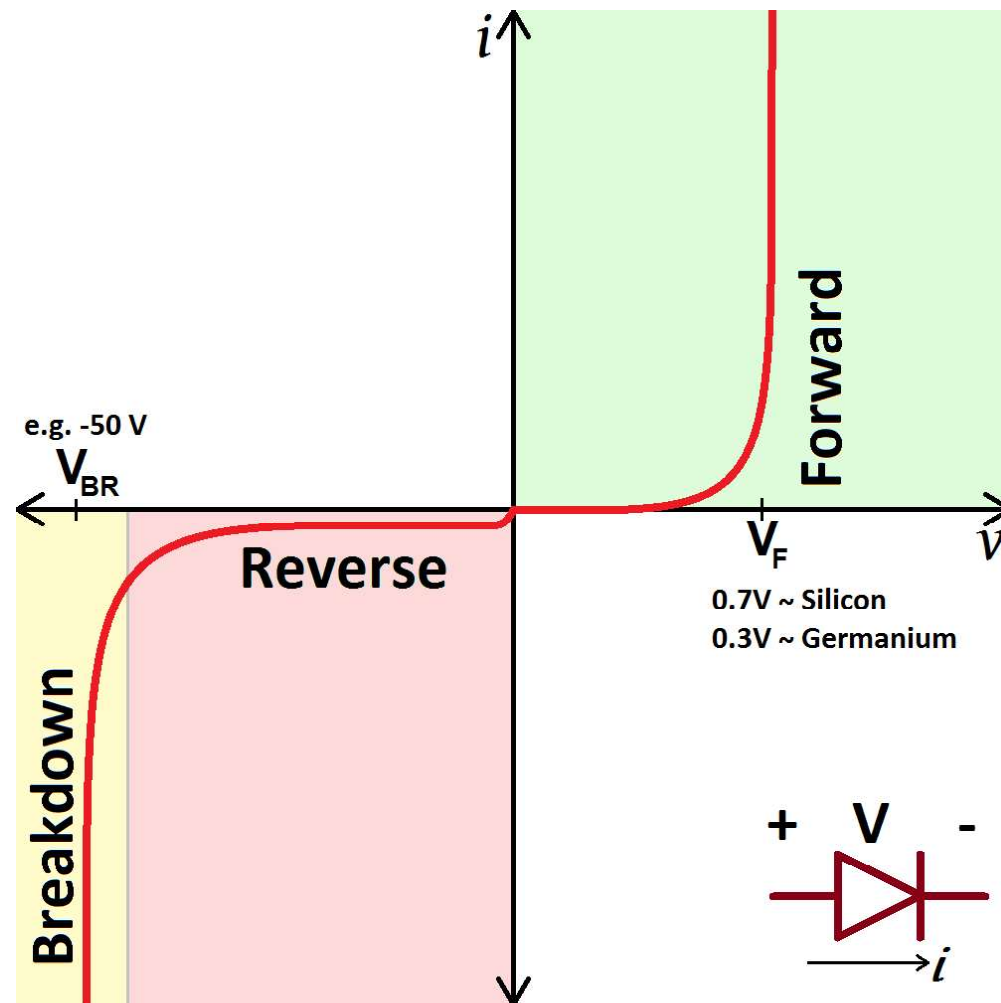
Si-pn-Diode



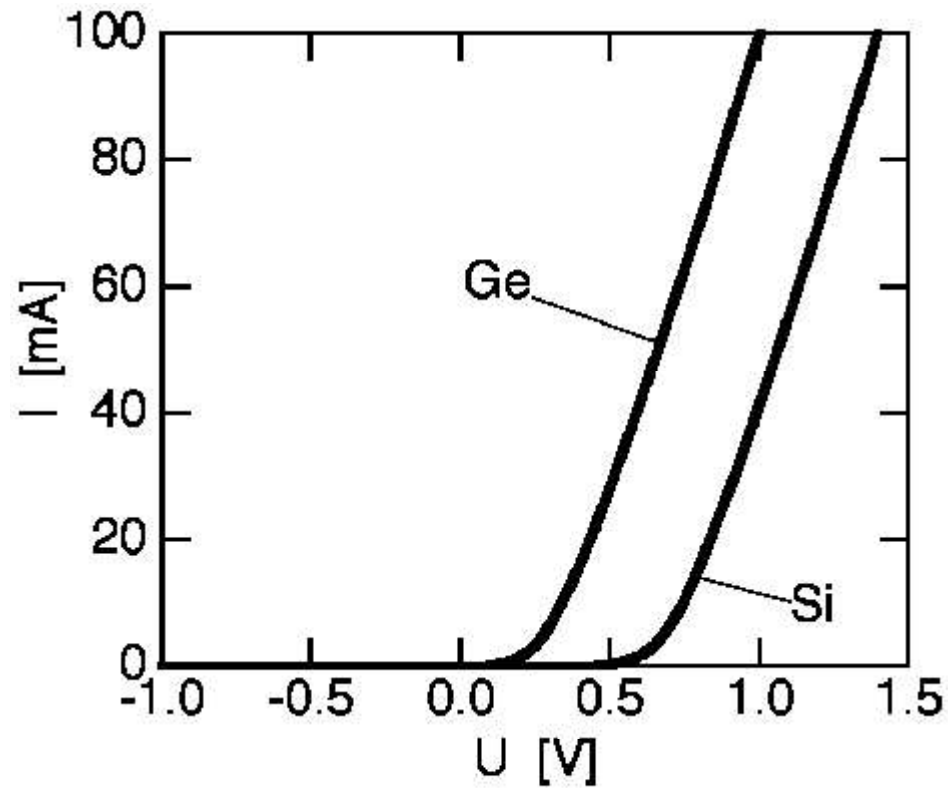
Reale Si-Diodenkennlinie



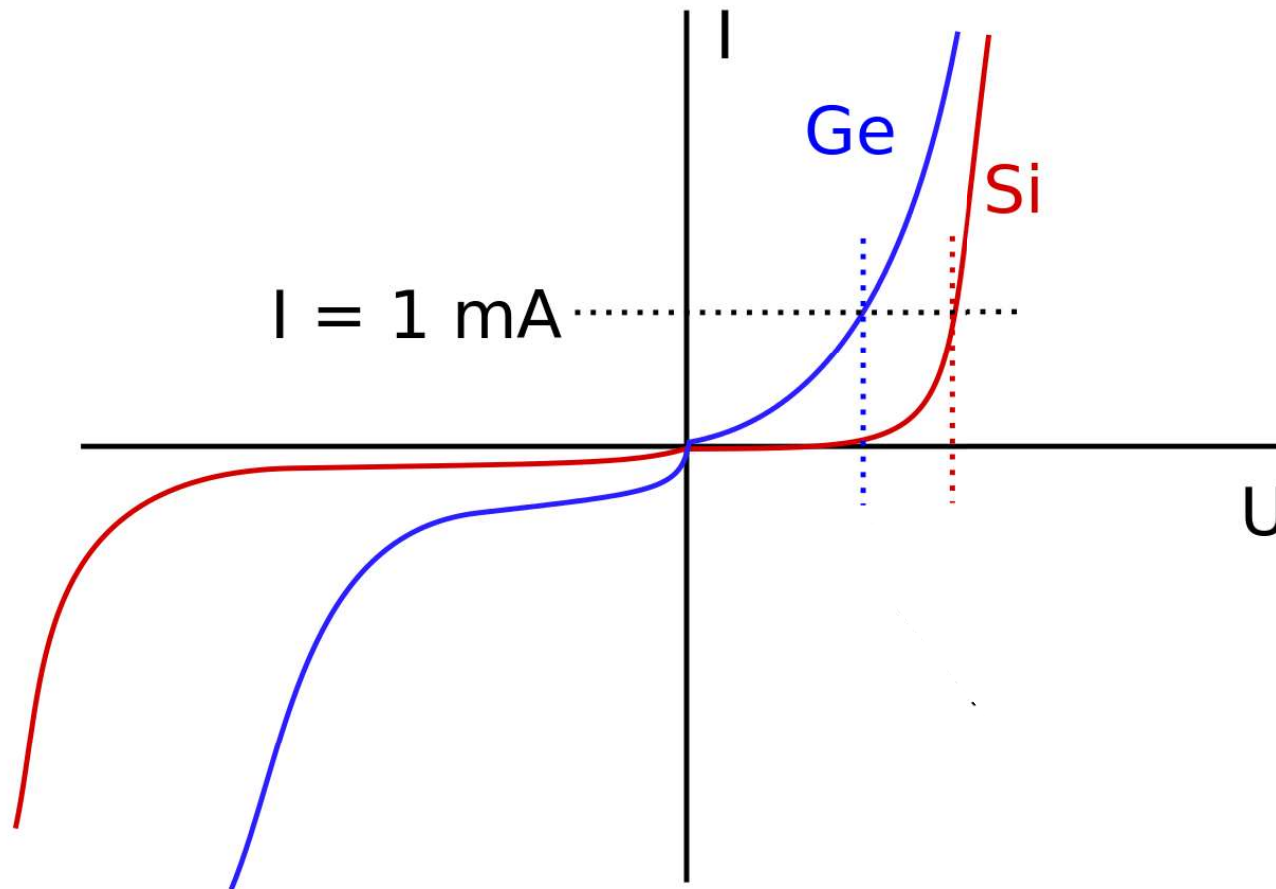
Diodenkennlinie

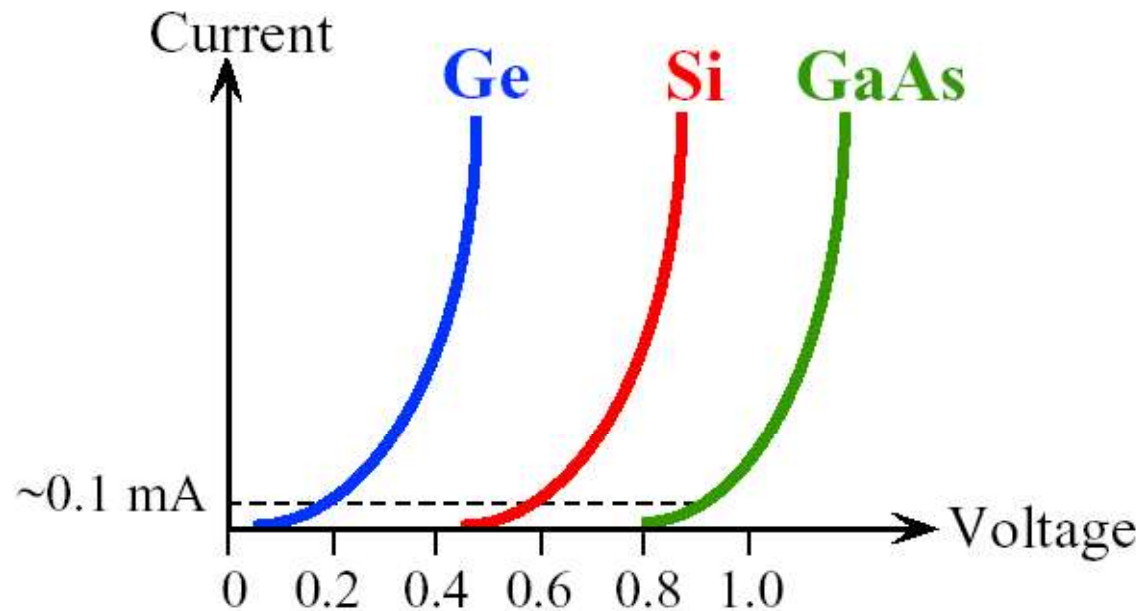


Kennlinien von Halbleiterdioden



Kennlinien von Halbleiterdioden





**Diodenströme für verschiedene Halbleiter:
Größere Bandlücke verschiebt das Einsetzen des Stromes
zu höheren Spannungen**

Der pn-Übergang in Flusspolung



Der pn-Übergang in Flusspolung

$$J_{ges} = \underbrace{\left(\frac{qD_p}{L_p N_D} + \frac{qD_n}{L_n N_A} \right) \cdot n_i^2}_{J_S} \left[\exp\left(\frac{qV}{kT}\right) - 1 \right]$$

$$L = \sqrt{D\tau}$$

$$J_{ges} = J_S \left[\exp\left(\frac{qV}{kT}\right) - 1 \right]$$

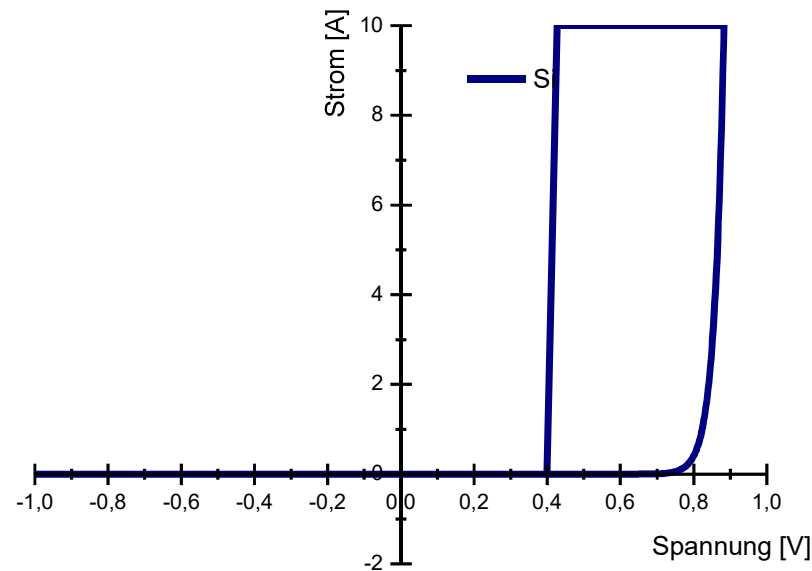
Ideale Dioden-Gleichung oder Shockley-Gleichung

genaue Herleitung in der genannten Literatur

Idealisierte Diodenkennlinie

Si-pn-Diode

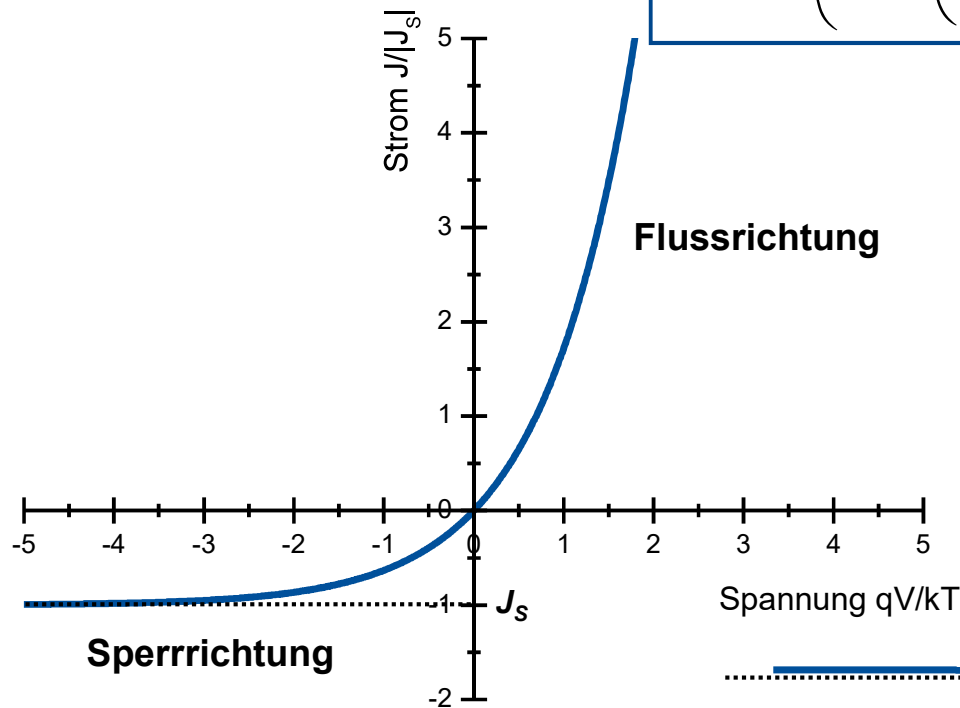
$$J_{ges} = J_s \left[\exp\left(\frac{qV}{kT}\right) - 1 \right]$$



→ betrachte J_{ges}/J_s

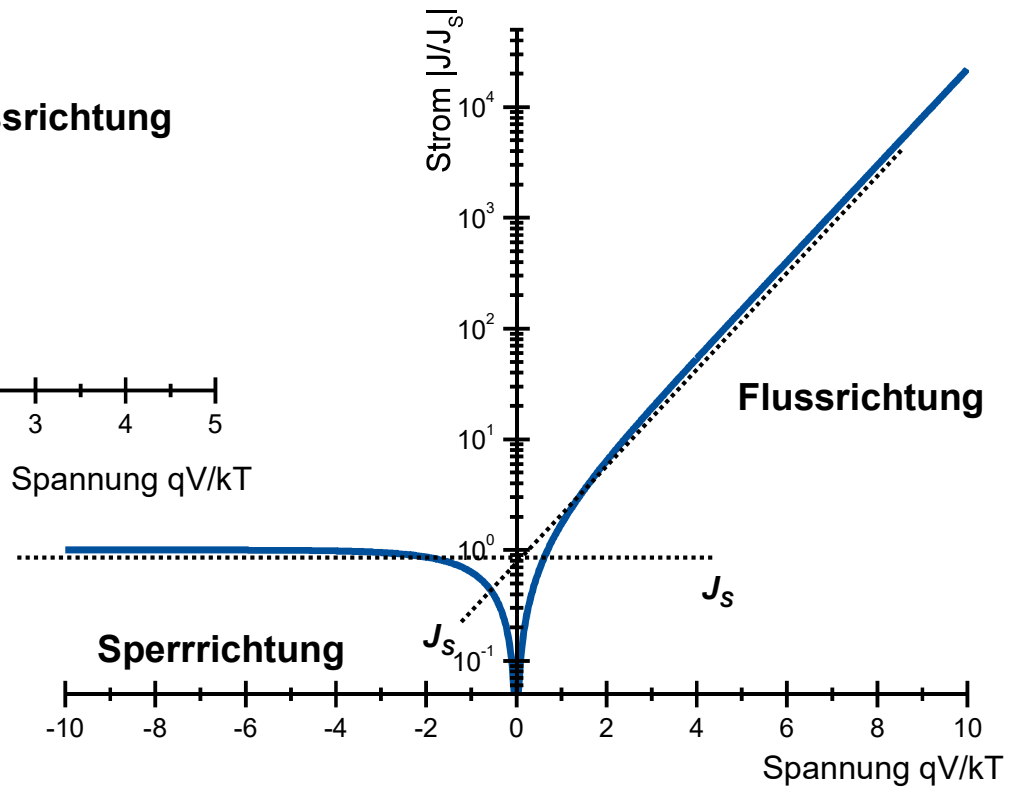
Ideale Diodenkennlinie (Shockley-Gleichung)

lineare Darstellung



$$J = J_s \left(\exp\left(\frac{qV}{kT}\right) - 1 \right)$$

halblogarithmische Darstellung



Diodengleichung für verschiedene Halbleiter

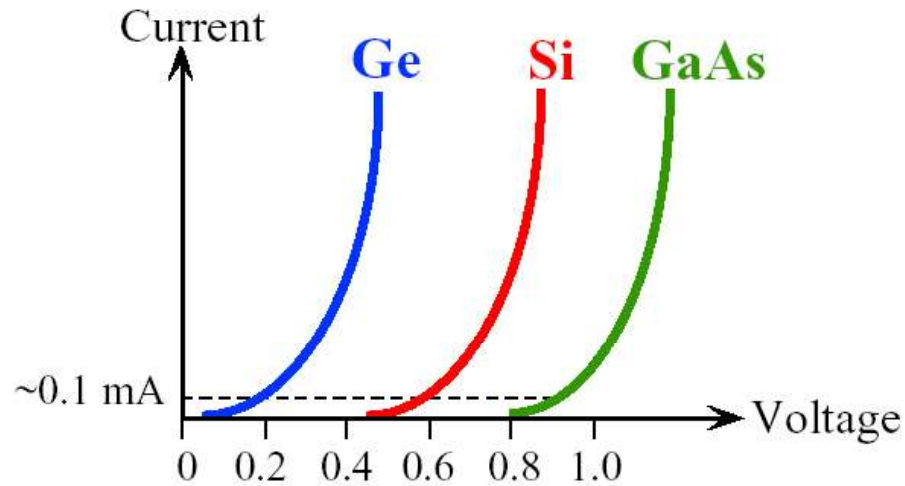
$$J_{ges} = \left(\frac{qD_p}{L_p N_D} + \frac{qD_n}{L_n N_A} \right) \cdot n_i^2 \left[\exp\left(\frac{qV}{kT}\right) - 1 \right]$$

Zur Erinnerung: n_i hängt von der Bandlücke ab!

$$n_i^2 = N_{VB} N_{LB} \exp\left[-\frac{E_g}{kT}\right]$$

$$J_{ges} \sim \exp\left[-\frac{E_g}{kT}\right]$$

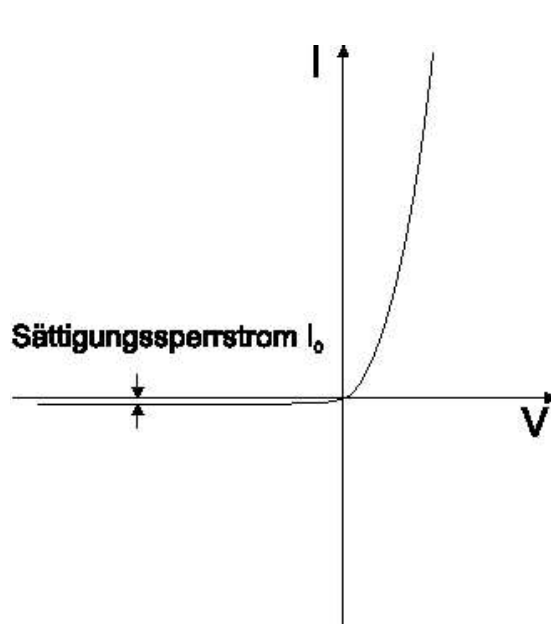
Kennlinien von Halbleiterdioden



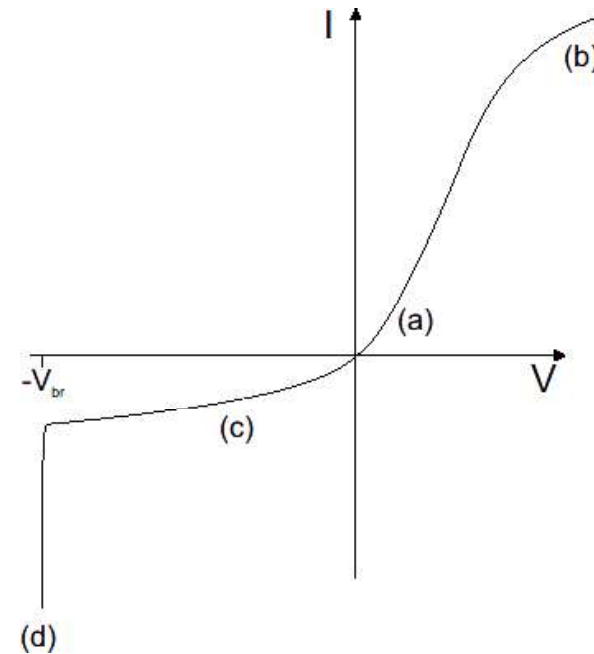
$$J_{ges} \sim \exp\left[-\frac{E_g}{kT}\right]$$

	$E_g(T = 300 \text{ K})$ in eV
Ge	0,67
Si	1,12
GaAs	1,42

Diodenkennlinien: ideal vs. real

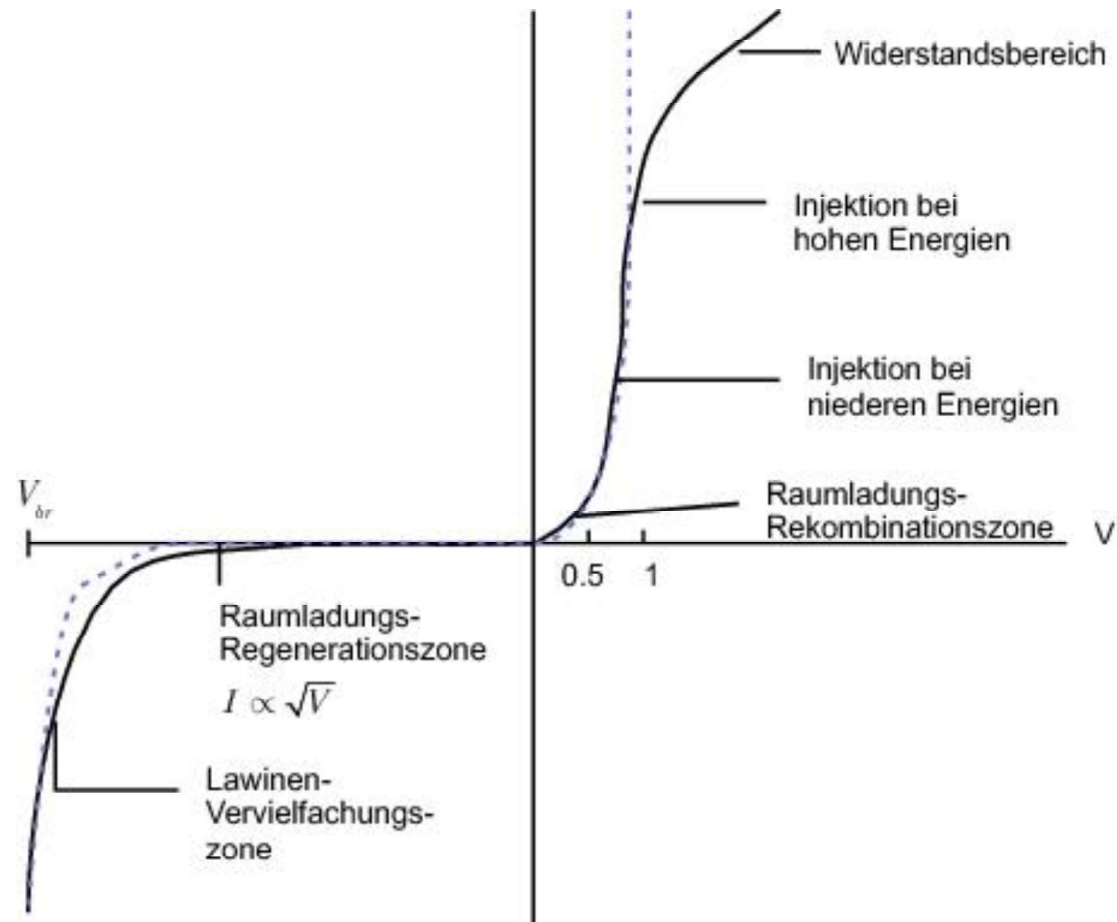


Ideale Diode



reale Diode

Kennlinien von Halbleiterdioden



Rekombination

- Bisher wurde angenommen, dass in der Raumladungszone keine Ladungsträger rekombinieren.

In realen pn-Übergängen tritt dort jedoch eine gewisse Rekombination

→zusätzlicher äußerer Strom

- Ein einfaches Modell für den durch die R/G in der RLZ bewirkten Strom ergibt sich bei Verwendung der SRH-Gleichung

$$R = \frac{n \cdot p - n_i^2}{\tau_p(n + n_i) + \tau_n(p + n_i)}$$

$$R = \frac{n \cdot p - n_i^2}{\tau_p (n + n_i) + \tau_n (p + n_i)}$$

Unter der Annahme: $\tau_p = \tau_n = \tau_0$ $n \cdot p = n_i^2 \cdot e^{\frac{qV}{kT}}$

Maximale Rekombination für: $n = p = \sqrt{n_i^2 \exp\left(\frac{qV}{kT}\right)} = n_i \cdot e^{\frac{qV}{2kT}}$

$$R = \frac{n_i}{2\tau_0} \left[\exp\left(\frac{qV}{2kT}\right) - 1 \right]$$

- Nimmt man an, dass die Rekombination in der RLZ konstant ist, erhält man durch Multiplikation mit der RLZ-Weite W und q den Rekombinationsstrom pro transversaler Flächeneinheit (Stromdichte):

$$J_{rek} = \frac{qn_i W}{2\tau_0} \cdot \left[\exp\left(\frac{qV}{2kT}\right) - 1 \right]$$

- Man sieht, dass der Rekombinationsstrom in der Raumladungszone proportional zu n_i , W und umgekehrt proportional zur Ladungsträgerlebensdauer τ_0 ist.

$$J_{rek} = \frac{qn_i W}{2\tau_0} \cdot \left[\exp\left(\frac{qV}{2kT}\right) - 1 \right]$$

$$J_{rek} = J_r \cdot \left[\exp\left(\frac{qV}{2kT}\right) - 1 \right]$$

- Der Gesamtstrom in einer pn-Diode ergibt sich aus der Summe des idealen Diodenstromes mit dem Rekombinationsstrom in der RLZ:

$$J_{ges} = J_S \cdot \left[\exp\left(\frac{qV}{kT}\right) - 1 \right] + J_r \cdot \left[\exp\left(\frac{qV}{2kT}\right) - 1 \right]$$

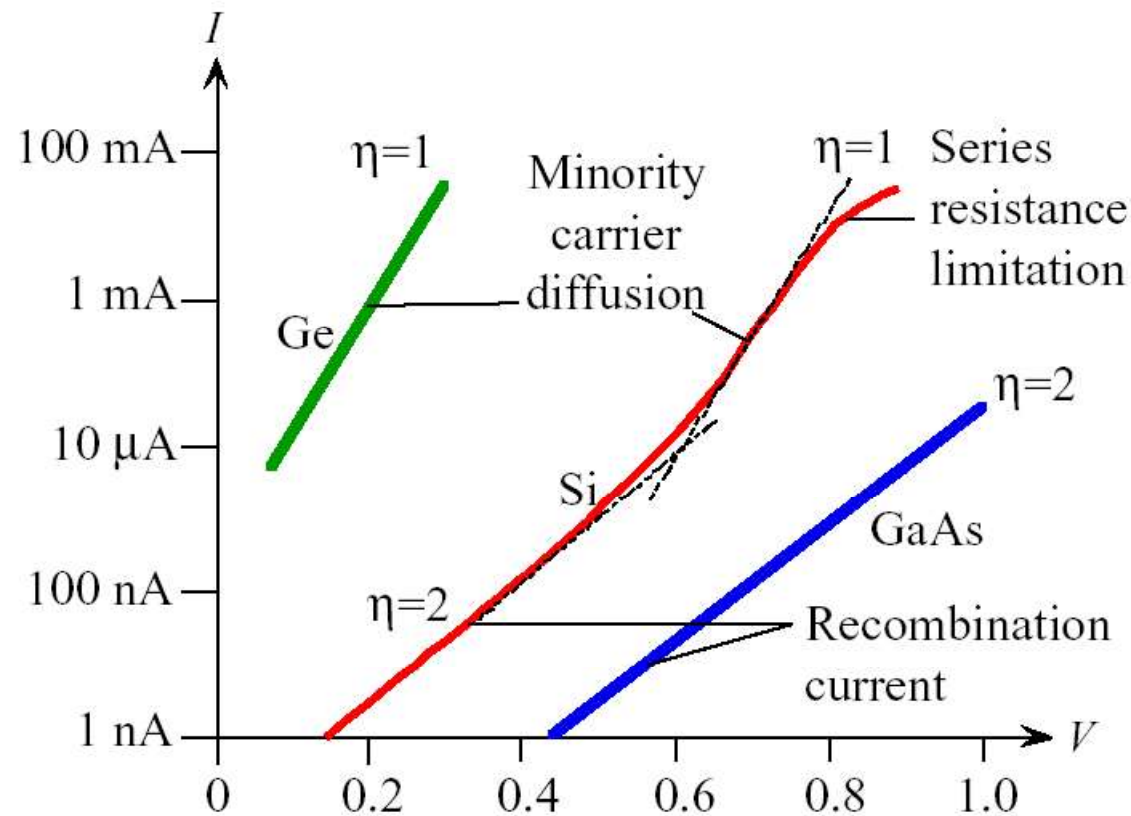
- Dieser Ausdruck wird bei der Beschreibung von realen Diodencharakteristiken in bestimmten Spannungsbereichen oft durch folgende Gleichung angenähert:

$$J_{ges} = J_0 \cdot \left[\exp\left(\frac{qV}{\eta kT}\right) - 1 \right]$$

- Die empirisch ermittelte Konstante η wird **Idealitätsfaktor** genannt und liegt praktisch immer zwischen 1 und 2.

Der pn-Übergang in Flusspolung

Beispiele für verschiedene Idealitätsfaktoren



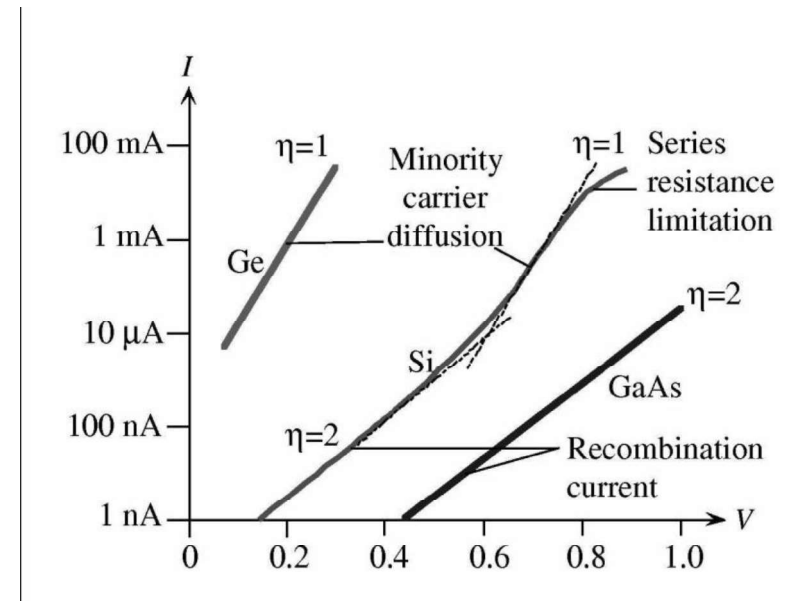
Idealitätsfaktor

- in verschiedenen Materialien bzw. Spannungsbereichen herrschen unterschiedliche Stromtransportmechanismen vor

Ge hat mit $\eta = 1$ eine Kennline einer idealen Diode, d.h., der Rekombinationsstrom ist gegenüber dem idealen Diodenstrom vernachlässigbar

in GaAs mit $\eta = 2$ ist der Stromtransport vollständig durch die Rekombination bestimmt

in Si überwiegt bei niedrigen Spannungen der Rekombinationsstrom ($\eta = 2$), bei hohen Spannungen die Diffusion ($\eta = 1$).



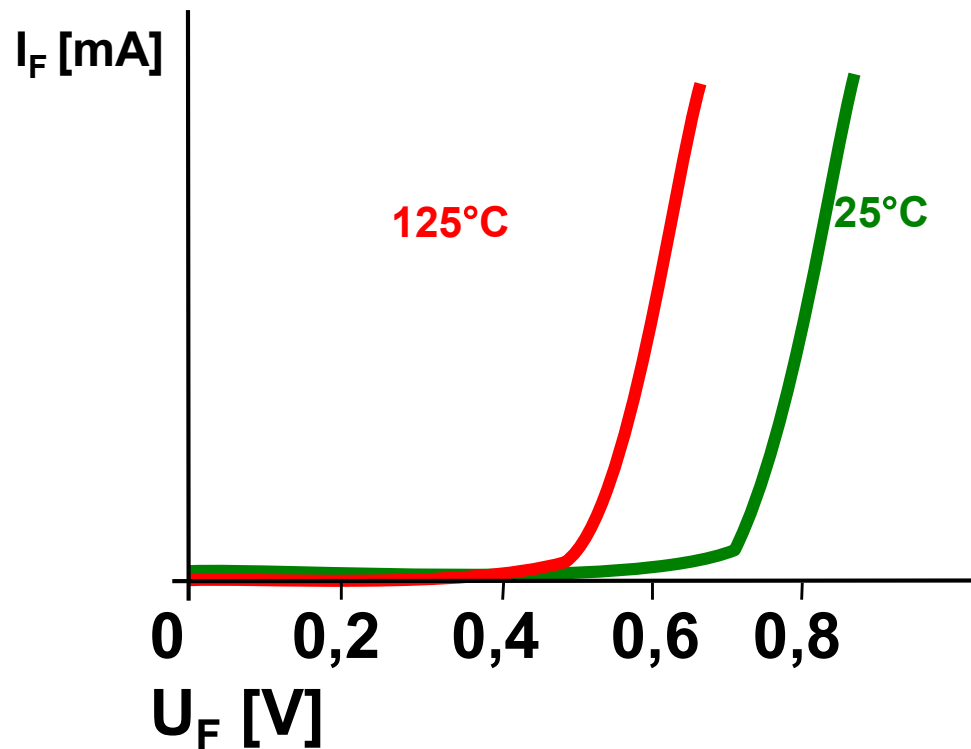
$$J_{ges} = J_s \cdot \left[\exp\left(\frac{qV}{kT}\right) - 1 \right] + J_r \cdot \left[\exp\left(\frac{qV}{2kT}\right) - 1 \right]$$

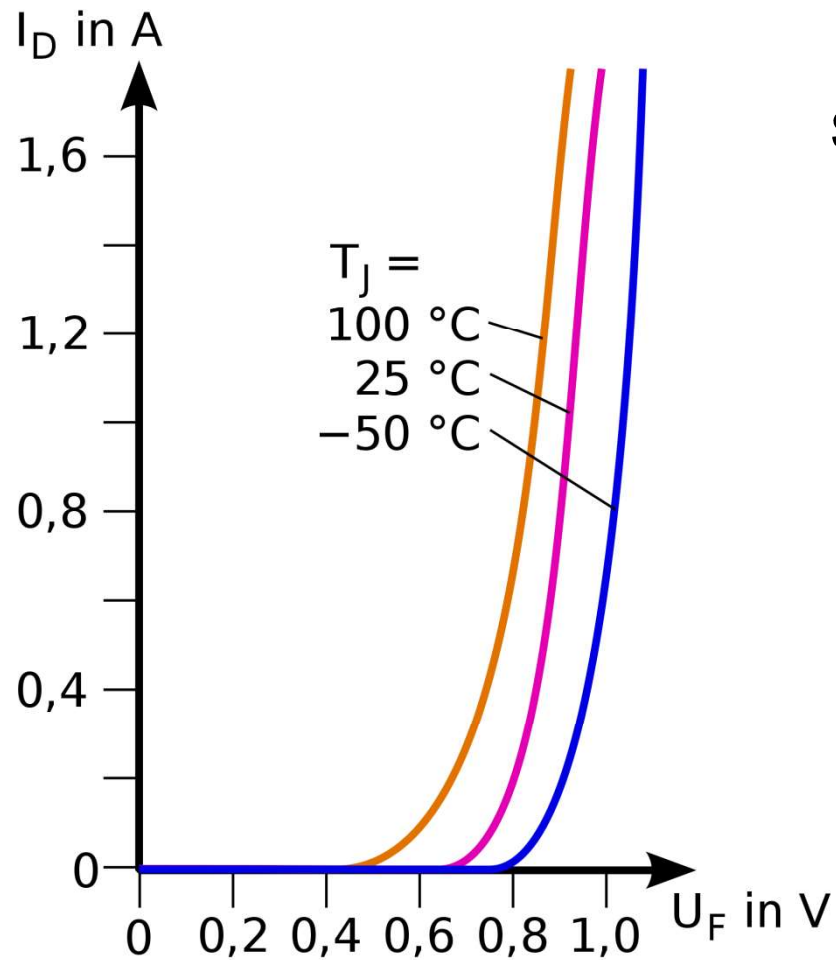
Die Strom-Spannungscharakteristik einer pn-Diode in Flusspolung ist stark temperaturabhängig:

$$J_s \sim n_i^2 \sim e^{\left(-\frac{qV_g}{kT}\right)} \quad \text{und} \quad J_r \sim e^{\left(-\frac{qV_g}{2kT}\right)}$$

Temperaturabhängigkeit

→ Mit wachsender Temperatur nimmt der ideale Stromanteil gegenüber dem nichtidealen zu.





Siliziumdioden

Die pn-Diode in Sperrrichtung



Die pn-Diode in Sperrrichtung

- Die angelegte Spannung fällt wieder hauptsächlich über der Raumladungszone ab, wodurch diese im Gegensatz zur Flusspolung erweitert wird

Die Majoritätsträger werden quasi von der Raumladungszone weggezogen

→ in Sperrrichtung ist kein großer Strom aufrecht zu erhalten.

- Es entsteht trotzdem ein kleiner Strom, da Minoritätsträger in die Raumladungszone diffundieren und dann durch das elektrische Feld ins gegenüberliegende Gebiet transportiert werden.

Dieser Sperrstrom wird durch die Nachdiffusion von im neutralen Gebiet generierten Minoritätsträgern aufrecht erhalten

→ Er hängt von der Konzentration der Minoritäten ab!

Die ideale pn-Diode in Sperrrichtung

$$J_{ges} = J_s \left[\exp\left(\frac{qV}{kT}\right) - 1 \right]$$

- Bei genügend großen Sperrspannungen $-V \gg kT/q$ sättigt der Sperrstrom, d.h. er wird unabhängig von der äußeren Spannung und gleich J_s .
- Die ideale Stromgleichung ist auch im Sperrbereich gültig.
- J_s wird **Sättigungssperrstrom** der idealen Diode genannt.

Die reale pn-Diode in Sperrichtung

- Werden in der realen Diode signifikante Mengen Elektron-Loch-Paare in der Raumladungszone generiert, die dann im dortigen elektrischen Feld getrennt werden, so tragen diese zum Sperrstrom bei und müssen zum idealen Sperrstrom addiert werden.
- Die für den Flussbereich abgeleitete Formel für R/G ist auch im Sperrbereich gültig, wo sie den RLZ-Generationsstrom beschreibt.

$$J_{gen} = J_r \cdot \left[\exp\left(\frac{qV}{2kT}\right) - 1 \right]$$

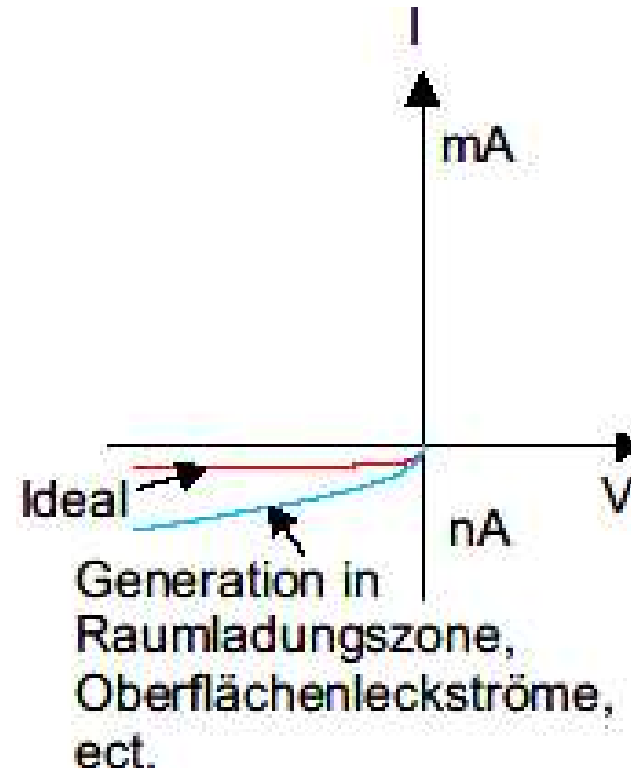
- Bei $-V \gg kT/q$ wird $J_{gen} \approx J_r$

Die pn-Diode in Sperrichtung

- Da J_r proportional zur Raumladungszonenweite W ist, wächst dieser Generations-Sperrstrom mit steigender Sperrspannung an.

$$J_r = \frac{qn_i W}{2\tau_0}$$

- Der Sperrstrom kann noch weitere Bestandteile haben, z. B. Oberflächenleckströme.



$$J_s \sim n_i^2 \sim e^{\left(-\frac{E_g}{kT}\right)} \quad J_r \sim n_i \sim e^{\left(-\frac{E_g}{2kT}\right)}$$

Der Sperrstrom einer pn-Diode ist stark abhängig von der Bandlücke des verwendeten Halbleiters

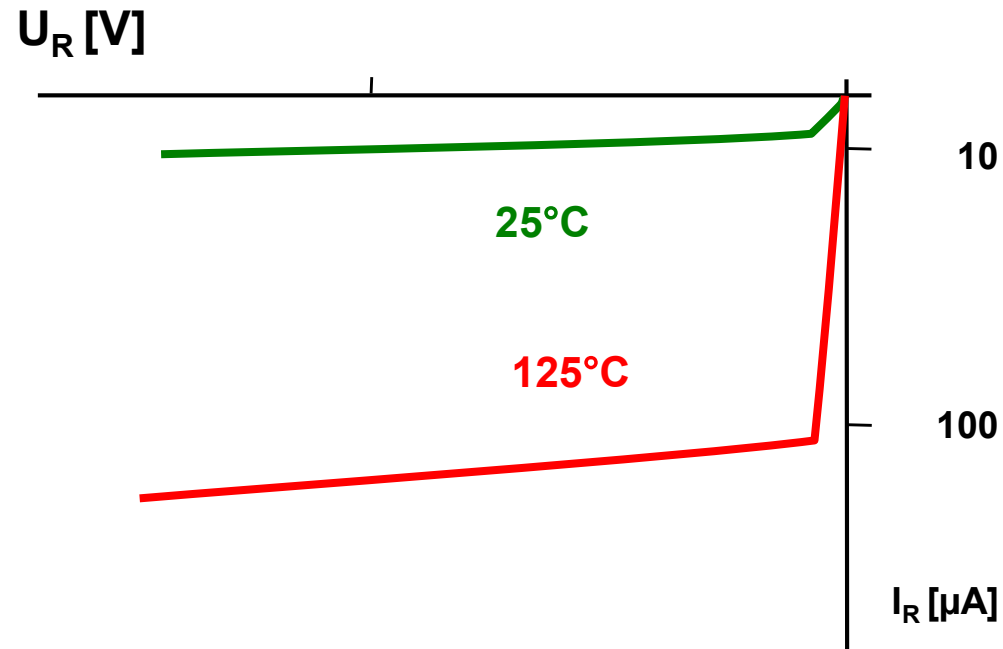
→ kleinere Bandlücke → größerer Sperrstrom

$$J_{ges} = J_s \cdot \left[\exp\left(\frac{qV}{kT}\right) - 1 \right] + J_r \cdot \left[\exp\left(\frac{qV}{2kT}\right) - 1 \right]$$

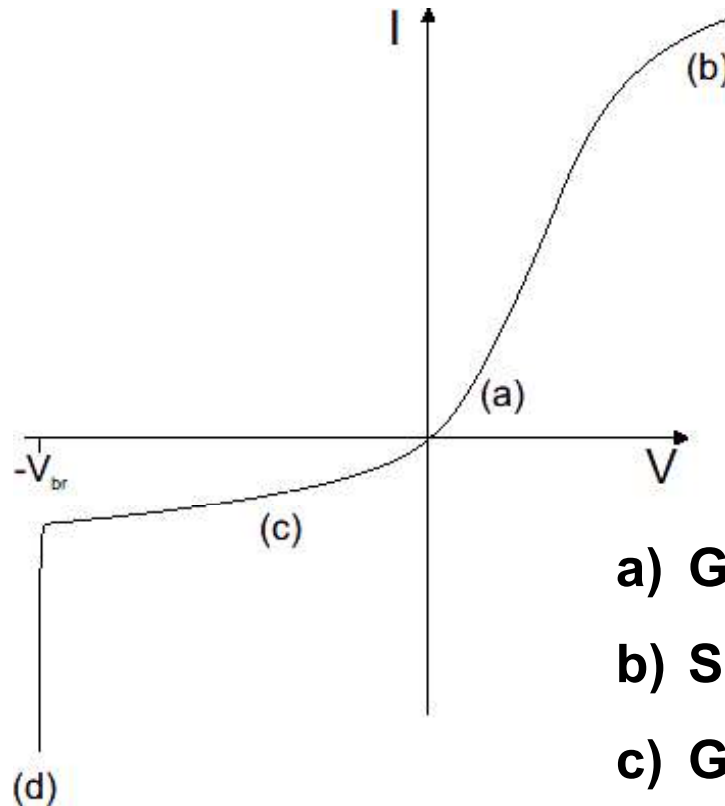
Die Strom-Spannungscharakteristik einer pn-Diode in Sperrrichtung ist stark temperaturabhängig:

$$J_s \sim n_i^2 \sim e^{\left(-\frac{E_g}{kT}\right)} \quad \text{und} \quad J_r \sim e^{\left(-\frac{E_g}{2kT}\right)}$$

→ Mit wachsender Temperatur nimmt der Sperrstrom zu

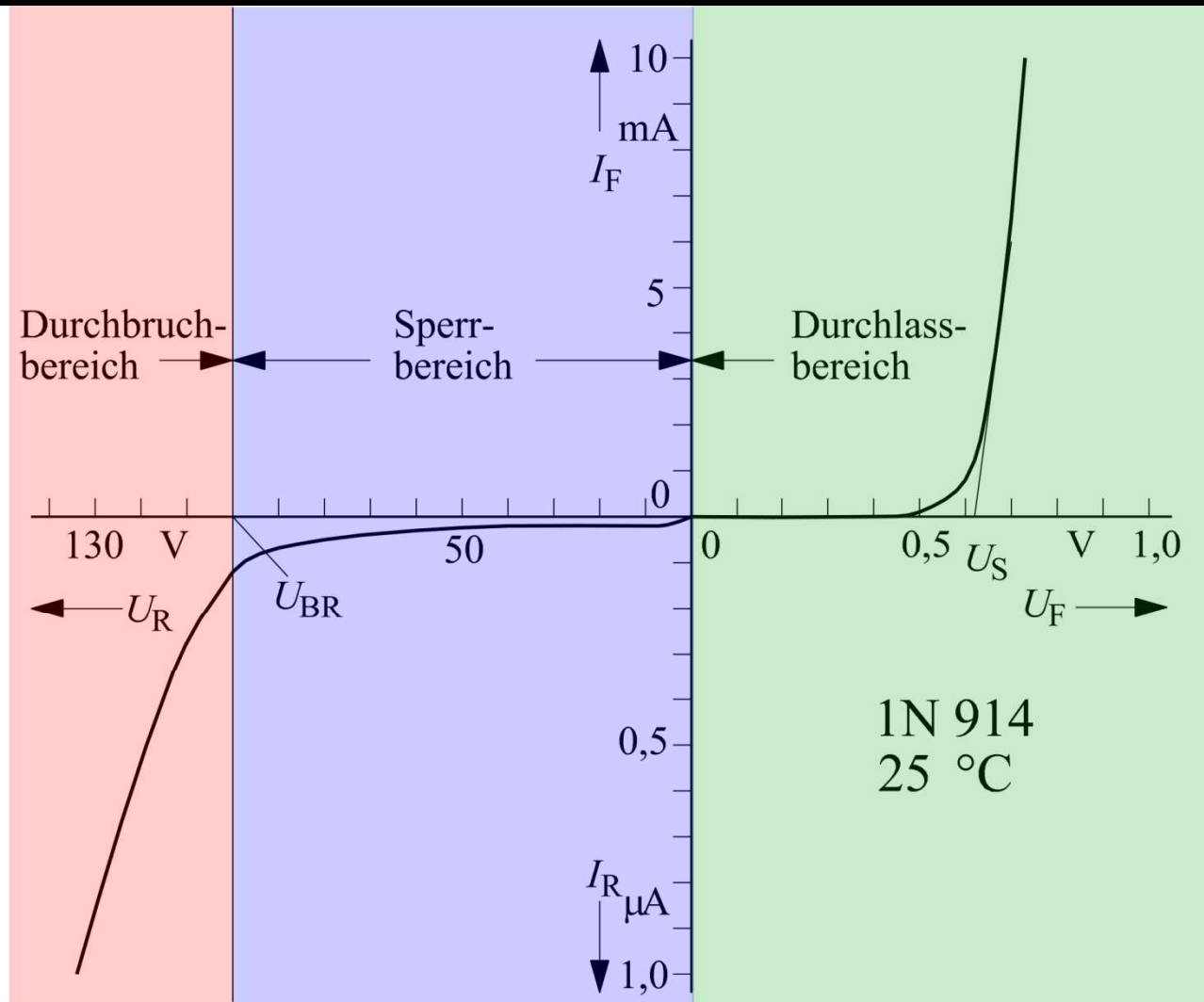


Reale Diodenkennlinien



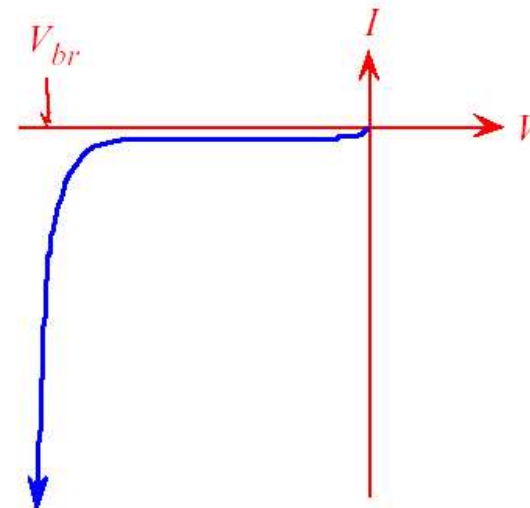
- a) Generation/Rekombination
- b) Serienwiderstand
- c) Generation/Rekombination
sowie Oberflächenleckströme
- d) Durchbruch

Reale Diodenkennlinien



Der Diodendurchbruch

- Die pn-Diode kann nicht mit beliebig großer Spannung in Sperrrichtung betrieben werden.
- Eine zu hohe Spannung führt dazu, daß die Diode "durchbricht", d.h., der Strom steigt bei einer kritischen Sperrspannung $V = -V_{br}$ sehr stark an.
- V_{br} wird Durchbruchsspannung genannt.



- Der Durchbruch ist reversibel, solange die thermische Belastung begrenzt wird.

Der Diodendurchbruch

- eine quantitative Beschreibung des Durchbruchstroms erhält man mit dem Multiplikationsfaktor M:

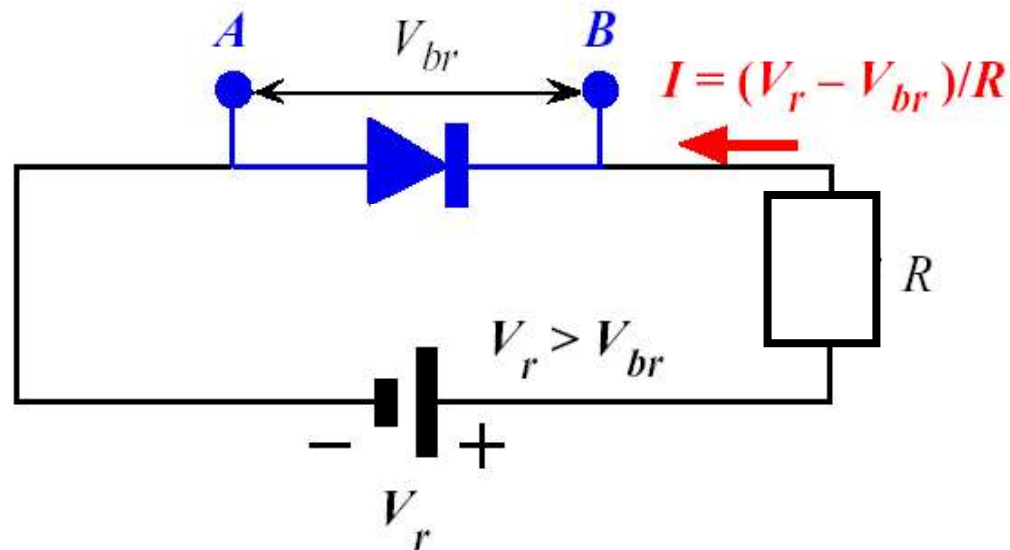
$$M = \frac{1}{1 - \left(\frac{V_r}{V_{br}} \right)^n}$$

V_r - Sperrspannung
 V_{br} - Durchbruchsspannung
 n - 3 ... 5

- mit M berechnet sich der Durchbruchstrom zu $M \cdot I_0$, wobei I_0 der Diodensperrstrom ohne Stoßionisation ist.
- im Durchbruchsbereich der Kennlinie ist die Spannung, die über einer Diode in Sperrrichtung abfällt, auch bei einer starken Variation des Stromes nahezu konstant gleich V_{br}
 - Genutzt zur Spannungsstabilisierung oder als Referenzspannungsquelle

Spannungsstabilisierung: Beispiel

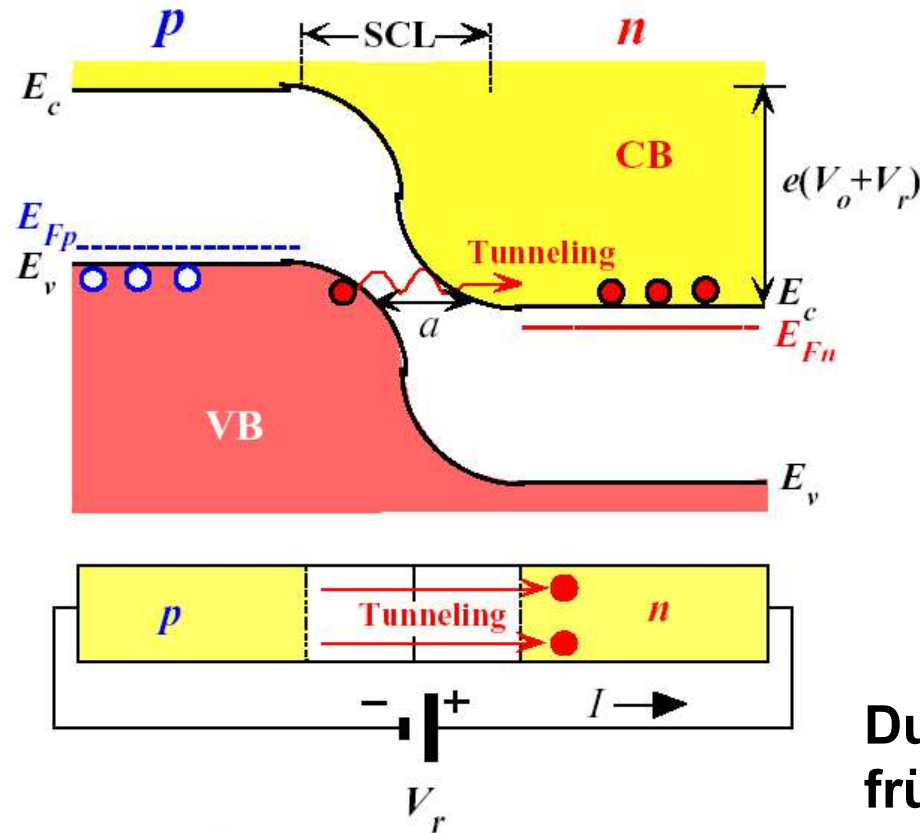
Eine Schaltung zur Spannungsstabilisierung:



Der Lawinendurchbruch

- Durch ausreichend hohe Sperrspannungen ist es möglich, die Raumladungszone und damit das elektrische Feld am pn-Übergang soweit zu vergrößern, dass die beschleunigten Ladungsträger ausreichend hohe Energien erreichen, um ihrerseits durch Stöße mit Kristallatomen weitere Elektron-Loch-Paare zu erzeugen.
- Dieser Effekt wird **Stoßionisation** genannt.
Die minimale dafür benötigte Energie ist E_g
- Die generierten Elektronen und Löcher können bei ausreichender Beschleunigung im elektrischen Feld ihrerseits wieder Stoßionisationsprozesse auszulösen.
➔ **Lawinenartige Bildung von Ladungsträgern**

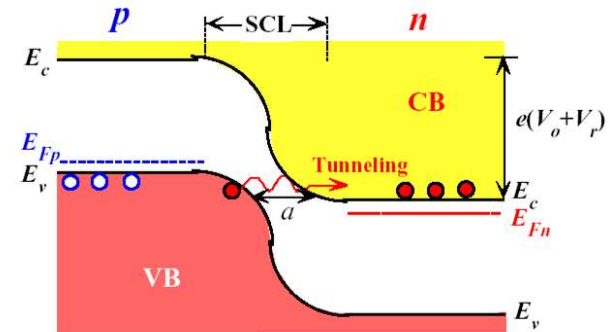
Der Zener-Durchbruch

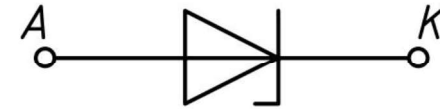


Durchbruch entsteht
früher als beim
Lawinendurchbruch.

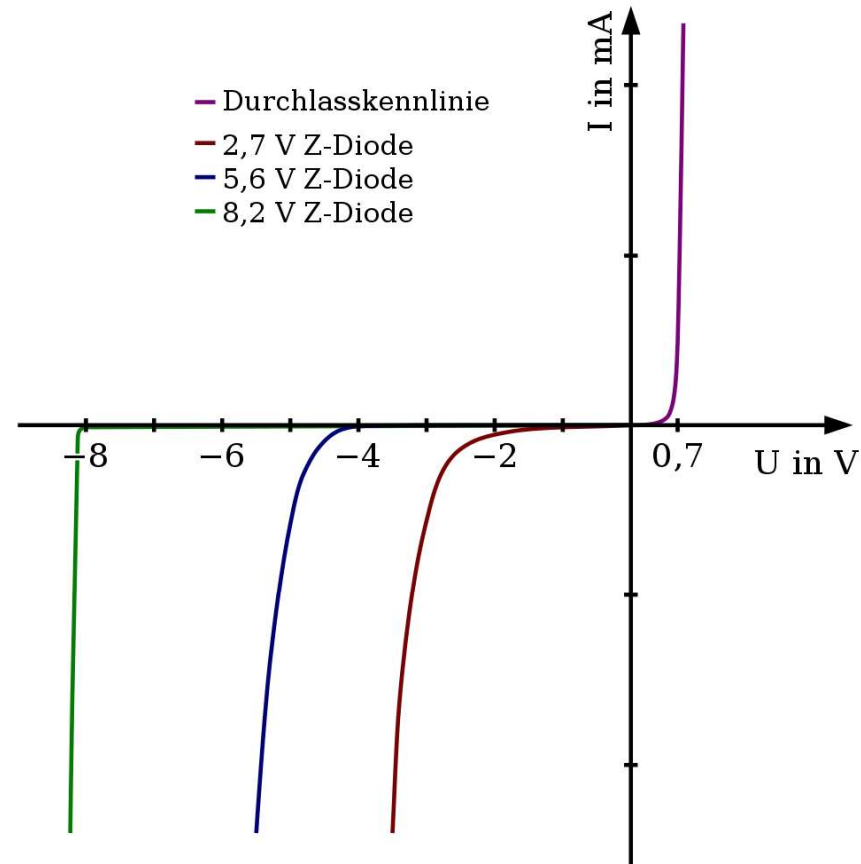
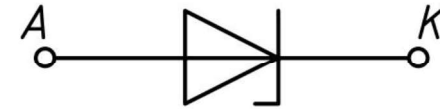
Der Zener-Durchbruch

- Der Zener-Effekt tritt bei hoch dotierten pn-Übergängen auf, in denen schmale Raumladungszonen und hohe elektrische Feldstärken auftreten.
- In diesem Fall kann es unter Sperrspannung zum Tunneln von Elektronen des Valenzbandes der p-Seite ins Leitungsband der n-Seite kommen.
- Dieses Tunneln generiert Elektron-Lochpaare in der RLZ und führt ab einer gewissen kritischen Spannung V_{br} zu einem starken Anstieg des Stroms in Sperrrichtung.
- Die Kennlinienform unterscheidet sich vom Lawinendurchbruch nur durch die niedrigeren Durchbruchspannungen $V_{br} < 5V$.





- Eine Zener-Diode (Z-Diode) ist eine besonders dotierte Si-Diode mit geringer Sperrschichtdicke.
- Sie ist nach dem amerikanischen Physiker *Clarence Melvin Zener*, dem Entdecker des Zener-Effekts, benannt.
- Die Charakteristik von Z-Dioden erlaubt es, dass sie in zahlreichen Schaltungen zur **Stabilisierung** und **Begrenzung** von elektrischen Spannungen eingesetzt werden.
- Sie verhalten sich in Durchlassrichtung wie normale Dioden, in Sperrrichtung werden sie ab einer bestimmten Spannung, der so genannten Sperrspannung oder Durchbruchspannung, niederohmig.



Kennlinien verschiedener Z-Dioden

Die Sperrschichtkapazität

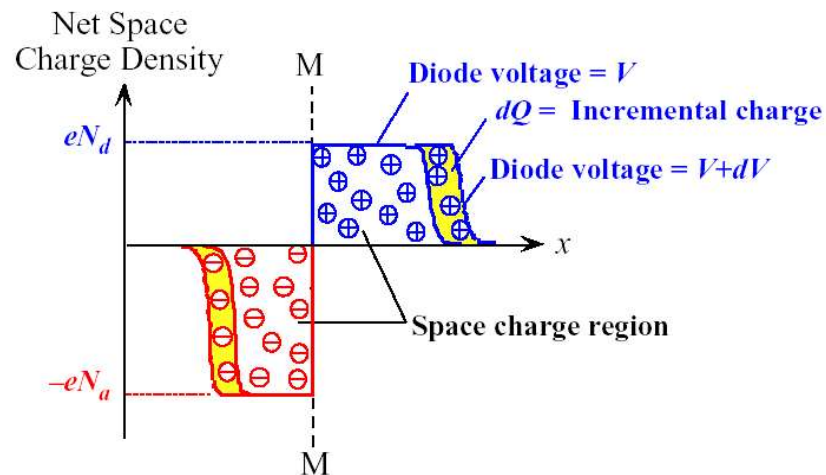
- in der Verarmungszone des pn- Übergangs stehen sich positive und negative Ladungen getrennt gegenüber
Analogie zu einem Plattenkondensator
- Die Ladungen hängen jedoch nicht linear von der angelegten Spannung ab.
- Es ist sinnvoll, eine differentielle **Sperrschichtkapazität** oder **Kleinsignalkapazität** zu definieren

$$C_{dep} = \frac{dQ}{dV}$$

- Diese Kapazität gibt an, mit welcher Ladungsänderung dQ der pn- Übergang auf kleine Spannungsänderungen dV bei einer angelegten Spannung V reagiert

Die Sperrschichtkapazität

- Durch eine kleine Spannungsänderung verändert sich die Raumladungszone in ihrer Ausdehnung und somit auch die Ladung, die in der Raumladungszone gespeichert ist



- Die auf beiden Seiten betragsmäßig gleiche gespeicherte Ladung erhält man über die Neutralitätsbedingung:

$$|Q| = qN_A W_p A = qN_D W_n A$$

Die Sperrschichtkapazität

$$W = \sqrt{\frac{2\varepsilon}{q} \left(\frac{1}{N_A} + \frac{1}{N_D} \right) (V_0 - V)}$$

$$C_{dep} = \frac{dQ}{dV} = \varepsilon \frac{d\vec{E}}{dV} A = \varepsilon \underbrace{\frac{dV}{W}}_{\frac{d\vec{E}}{dV}} \frac{A}{dV} = \varepsilon \frac{A}{W}$$

genaue Herleitung in der genannten Literatur

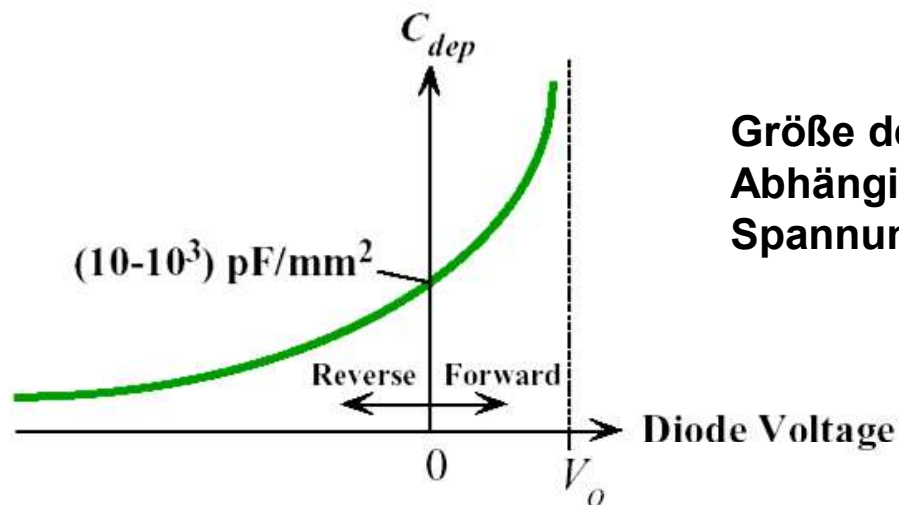
➔ Divergiert, wenn V gegen V_0 strebt.
(Niedriginjektion: V kleiner als V_0 .)

➔ **Spannungsabhängige Kapazität (Varaktor)**

Die Sperrschichtkapazität

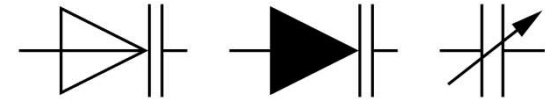
$$C_{dep} = \frac{dQ}{dV} = \epsilon \frac{A}{W}$$

$$W = \sqrt{\frac{2\epsilon}{q} \left(\frac{1}{N_A} + \frac{1}{N_D} \right) (V_0 - V)}$$

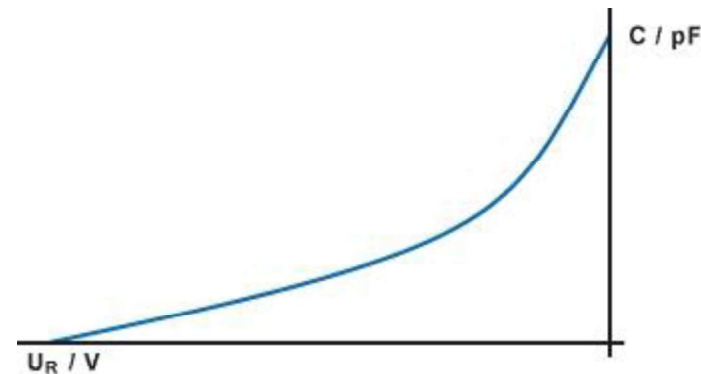


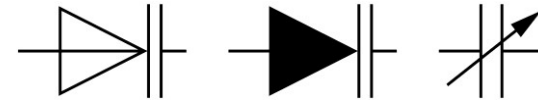
Größe der Verarmungskapazität in Abhängigkeit von der äußeren Spannung

➔ Spannungsabhängige Kapazität (Varaktor)



- In Sperrrichtung wirkt die Sperrschicht bzw. Raumladungszone am pn-Übergang wie eine Kapazität.
Ändert sich die Spannung an der Diode ändert sich auch die Kapazität der Sperrschicht.
- Bei der Kapazitätsdiode ist die Sperrschicht-Kapazität besonders groß. Dadurch sind große Kapazitätsänderungen möglich.
Die Kapazität der Kapazitätsdiode kann durch die anliegende Spannung gesteuert werden



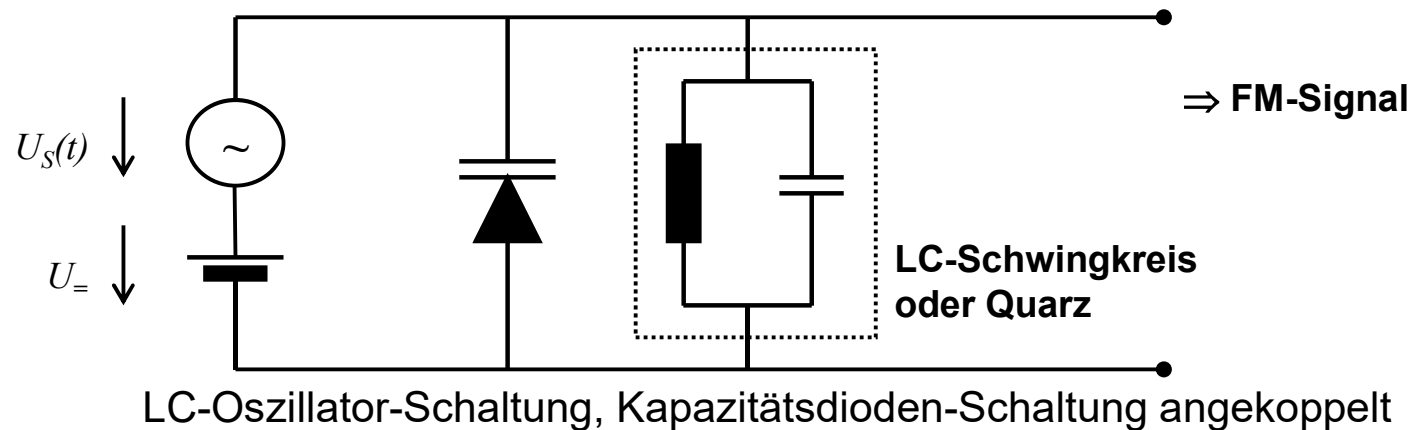


- Anwendungen

Abstimmung von Schwingkreisen in Filtern und Oszillatorschaltungen

Ersatz für Drehkondensatoren oder veränderbaren Induktivitäten (Variometer) für die Schwingkreisabstimmung in Radios und TV

Schaltungen zur Erzeugung von Frequenzmodulation



$$f = \frac{1}{2\pi\sqrt{L \cdot C}} \Rightarrow \frac{1}{2\pi\sqrt{L \cdot (C + C_{cap})}}$$

- **Gleichrichtung**
Für die Umwandlung von Wechselspannung in Gleichspannung
Verwendet werden Silizium-pn-Dioden oder Silizium-Schottkydioden.
Veraltete Typen sind die Germaniumdiode, der Selen-Gleichrichter,
die Röhrendiode und der Ionen-Gleichrichter.
Verpolungsschutz-Dioden und Freilaufdioden sind ebenfalls
Gleichrichterdioden.
- **Kleinsignal-Dioden**
dienen der Gleichrichtung von Signalen (Demodulator), als Mischer,
als Spannungsreferenz und zur Temperaturmessung bzw. -
kompensation
- **Spannungsstabilisierung**
Für die Spannungsstabilisierung und zur Überspannungs-
begrenzung kommen Zener-Dioden und ähnliche zum Einsatz.
Hier wird der in Sperrrichtung auftretende Zenereffekt und der
Avalancheeffekt (Lawinendurchbruch) genutzt

- **Optik**
Für optische Zwecke dienen die Laserdiode, die Fotodiode, die Lawinenphotodiode (Avalanche-Fotodiode) und die Leuchtdiode (LED).
- **Kapazitive Dioden**
Kapazitätsdioden (auch Varaktor oder Varaktordiode genannt) sind p-i-n Dioden, deren von der Sperrspannung abhängige Sperrschichtkapazität als steuerbarer Kondensator genutzt wird.
- **Gesteuerte Gleichrichter und verwandte Bauelemente**
Dazu gehören die Vierschichtdiode und der Thyristor
Des Weiteren werden die Diac (Zweirichtungsdioden) sowie der Unijunction-Transistor hinzugerechnet.
- **Neben den oben genannten Diodentypen gibt es noch eine ganze Reihe von weiteren Typen, die sich keiner bestimmten Kategorie zuordnen lassen oder seltener eingesetzt werden.**
Avalanchediode, Feldeffektdiode (MOSFET), die Gunn-Diode, die Tunnel-Diode, die IMPATT-Diode oder Lawinenlaufzeitdiode (kurz LLD) und die Speicherschalt-Diode

- **pn-Übergang**
 - Grundverhalten, Diffusion und Drift
 - Raumladungszone, metallurgische Grenze
 - Eingebautes Feld, Diffusionsspannung
 - Breite der Raumladungszone
 - pn-Übergang mit externer Spannung
- **pn-Diode**
 - Kennlinien für verschiedene Halbleitermaterialien
 - Flusspolung, Sperrrichtung
 - Ideale Diodengleichung
 - Zusätzliche Effekte bei realen Dioden
 - Idealitätsfaktor
 - Temperaturabhängigkeiten
 - Durchbruch, Lawinendurchbruch, Zener-Effekt
 - Varaktordioden
 - Diodentypen und ihre Anwendungsfelder